

I. Farove přechody a jejich modelový popis

v rámci statistické mechaniky

§1.1 Dynamika a rovnovážný stav mnohočásticového (makroskopického) systému

Jeden mol plynu obsahuje $N_0 = 6.022 \times 10^{23}$ částic.

Každá z těchto částic se vlní dynamicky/mi rovinně buďto klasicky nebo kvantově mechanicky. Detailní popis takového makroskopického systému je nemožný.

Dynamika mikroskopických objektů, jednotlivých částic, musí být nahrazena dynamikou makroskopického stavu. Makroskopický stav je soubor mikrostavů, stavů jednotlivých částic, které splňují určitá makroskopická omezení. Makroskopický stav lze popisovat pomocí farového objemu $\Gamma(X)$, který zahrnuje mikroskopický stav $X = (x_1, p_1, \dots, x_N, p_N)$.

ktorej ison pripustajami realizaciami makroskopického stavu. Prirodou od mikroskopického stavu

$X = (\vec{x}_1, \vec{p}_1, \dots, \vec{x}_N, \vec{p}_N)$ s $6N$ rozmernymi koordinatami prechod k makroskopickému stavu $\Gamma(X)$ prejde od mikroskopického Hamiltonovho mechaniky k makroskopického dynamice Liouvilleovej. 2 Hamiltonov-

výš polytrofých rovníc dostaneme (v klasicko mechanice)

Liouvilleovu rovnici: pro hustotu $w(X)$ fázovej

kapaliny:

(I.1)

$$\frac{\partial w}{\partial t} = [H, w]$$

kde Poissonov rávorok $[X, Y]$ je definovaný

(I.2)

$$[X, Y] = \sum_{k=1}^{3N} \left[\frac{\partial X}{\partial q_k} \frac{\partial Y}{\partial p_k} - \frac{\partial Y}{\partial q_k} \frac{\partial X}{\partial p_k} \right]$$

Hustota $w(t, X)$ fázovej kapality je úplnou informáciou

o makroskopickom stavu. Charakteristický makroso-

stopiczo stanu po istm redziejim podum'aniem
na rozdeleniu funkci w (t, x) .

Prirodem od mikroskopicznej Hamiltonowskiej
rownice k Liouvilleovej rovnici pro makroskopizaciu
charakterizovany rozdeleniu funkciu w (t, x) je sme
problem popisu makroskopizacnej stavy p'eli's urojdeno-
stici. Liouvilleova rovnice je stepen' neisitel'na jako
Hamiltonova rovnice idustl'ij' d'izstic. Tru. d'iznamiku
makroskopizacnej stavy nelze obecne' ro'bec popsat. Vpraxi
ci' experimentu se v'it'om raz'udame o stavy, ktore
se ustavi' ai po dostatecne dl'ohem casu od t'opu. Predpo-
kladame, ze relaxacni casy j'ich procesu umiti' m'akro-
scopickeho stavu istm m'odem krat'ej, charakteris-
ticke doba pozorovani' ci' dane'ho experimentu m'akro-
scopickeho stavu. Tru. prakticky nas zajima' pouze asymp-
totick' d'izlocasom limitu re'seni' Liouvilleov' rovnice.

(I.3)

$$w(X) = \lim_{t \rightarrow \infty} w(t, X)$$

Tuto limitu potom nazývame rovnovážny stav,
prí ktorej platí

(I.4)

$$[H, w] = 0$$

Jaко u väčšej asymptotickej limity očakávame i od rovnovážneho stavu, že popis makroskopických stavov zjednoduší.

Keďže však nemáme Liouvilleovu rovnici riešiť v
žiadnom časovom režime, jedinou možnou cestou, jak
visti rovnovážny stav, je použiť postulátu o tvare
rovnovážnej rozdeľovacej funkcie $w(X)$. Postulovaním
tvare rovnovážnej rozdeľovacej funkcie $w(X)$ o podstate
zapomíname na dynamické rovnice a pôvodný stav,
v ktorom je ne systém pripravili a dynamický popis
prejde na popis štatistický. Tzn. štatistická me-

Chcem sa vrátiť k častému medaniu postulátom
 o tom rovnovážnej rozdelení funkcie, farou
 objemu $\Omega(X)$. Obecné platný postulát pro
 tom rovnovážnej rozdelení funkcie je tzv. princíp
stejných pravdepodobností, ktorý predpokladá, že v
 rovnovážnom stave je každý mikroskopický stav, ktorý
 spĺňa dané omešenie makroskopického stavu, is stejně
pravděpodobný. Fundamentálnu makroskopickou ve-
 lichinou, ktorá charakterizuje makroskopický stav je energia.
 Energie je najprirodzenejším parametrom, ktorý môže
 charakterizovať rovnovážny stav. Je jasné, že pri integrácii
 pohybu možno charakterizovať rovnovážny stav. Engodichov
hypotéza postuluje, že energia je podmínkou makroskopického
 parametrom, integrovaním pohybu, ktorý charakterizuje
 rovnovážny makroskopický stav.

Treba, že statistická mechanika vyžaduje z ergodicity

teoremu charakterizuje makroskopický parametr vnější
 rovnováhy stro, nebo apriorně jasné, které vnějš
 a vnější parametr charakterizuje celkovou energii
 Obecně diferenciál vnější energie můžeme psát
 (1. věta termodynamika)

$$(1.5) \quad dE = T dS - \sum_k a_k dA_k$$

kde A_k jsou vnější parametry charakterizující makro-
 slopický stro a a_k jsou zobecněné síly. Typickými
 vnějšími parametry jsou ^{např.} objem V , magnetizace M ,
 odpovídající zobecněné síly jsou tlak p a vnější magnet.
 pole B . No vždy však musí být zobecněné síly vnějšími
 parametry. Počet vnějších parametrů A_k a jejich zobecně-
 ných sil a_k není o rovnovážné statistické mechanice
 předem stanoveno a o jejich počtu musí být rozhod-
 nuto na základě "stabilit" rovnovážného stavu.

Stabilita rovnovážného stavu vyjadňuje 2. zákon termodynamiky, ktorej říká, že entropie, definovaná jako $S = -k \ln T$, je neklesajúcou funkciou času. Tm. entropie rovnovážného stavu je maximálna. Tm.

$$(I.6) \quad T dS = dE + \sum_k a_k dA_k \geq 0$$

Keďže však nemôžeme priamo testovať dynamiku makroskopického systému, musíme sa omeriť podľa rovnovážneho stavu, kde je splnená rovnosť na pravej strane rovnice (I.6). Variáciou vnútorných parametrov A_k vieme zmeniť, ideli výsledný termodynamický potenciál, v našom prípade entropie, je extrémom (maximálnym). Skontrolujeme teda podmienku stability vybraného rovnovážneho stavu:

$$(I.7) \quad d \left[\frac{1}{T} (dE + \sum_k a_k dA_k) \right] < 0$$

Podmínka (I.7) říká, že rovnovážnost charakterizovaný určitými parametry A_k je lokálně stabilní, tj. jeho entropie je v lokálním maximum. Tato podmínka je zcela fundamentální pro určení stability rovnovážného stavu, tj. stavu, který je výsledkem dlouhodobého vývoje řešení Liouvilleovy rovnice. Jestliže v daném rovnovážném stavu najdeme parametry A_k , jejich variace vede na narušení podmínky stability (I.7), potom dojde k tzv. fundamentálnímu přechodu a změně rovnovážného stavu o jiny, který bude charakterizován jinými hodnotami určitých parametrů.

§I.2 Statistický popis rovnovážných makroskopických stavů - termodynamické potenciály a jejich vlastnosti

Jestliže mluvíme o stabilitě rovnovážného stavu, tak si musíme uvědomit, jakým způsobem rovnovážný stav

Podmínka (I.7) říká, že rovnovážnost charakterizovaný určitými parametry A_k je lokálně stabilní, tj. jeho entropie je v lokálním maximum. Tato podmínka je zcela fundamentální pro určení stabilního rovnovážného stavu, tj. stavu, který je výsledkem dlouhodobého vývoje řešení Hamiltonovy rovnice. Jestliže v daném rovnovážném stavu najdeme parametry A_k , jejich variace vede na narušení podmínky stability (I.7), potom dojde k tzv. fundamentálnímu přechodu a změně rovnovážného stavu o jiny, který bude charakterizován jinými hodnotami určitých parametrů.

§I.2

Statistický popis rovnovážných makroskopických stavů - termodynamické potenciály a jejich vlastnosti

Jestliže můžeme o stabilitě rovnovážného stavu, můžeme uvést, jakým způsobem rovnovážný stav

charakterizujecie. Makroskopiczny stan charakterizujecie
przez promień makroskopicznych relacji a częściowo
przez stan, którym wyrażają się mikroskopiczne reakcje
dane makroskopicznie stanem. Makroskopiczny stan
tedy nie obejmuje modelowania

$$\phi[S; A_1, \dots, A_n]$$

gdzie S - jest entropia charakterizująca stan układu
objemu, który zawiera mikroskopiczne reakcje. Wielkość
 A_k , $k=1, 2, \dots, n$ jest wielkością rozciągłą, extensionalną
przebiegiem definiowaną na przestrzeni stanów. tj.

tyto wielkości są funkcjami na BN rozkładów
przebiegu procesu, $A_k = A_k[X]$. Jeżeli makroskopiczne
miareno wielkość jest

(I.8)

$$A_k = \langle A_k[X] \rangle = \int d\mu_\phi A_k(x)$$

piękną $d\mu_\phi$ jest miara na przestrzeni stanów

(I.9)

$$d\tilde{E} = -\alpha_\varepsilon dA_\varepsilon$$

Matematicky makroskopický stav můžeme popsat troj-
termodynamickým potenciálem. Nejpodstatnějším trojovým
potenciálem je vnitřní energie

(I.10)

$$E(S; A_1, \dots, A_n)$$

kteřá je funkcí pouze extenzivních veličin. Rovnovážný
stav můžeme ekvivalentně popsat i jinými termodynamice-
kými potenciály pomocí troj. Legendových transformací.
Tyto transformace umožňují přechod od popisu makrosko-
pického stavu pomocí jedné proměnné k popisu pomocí troj.
Legendovských sdružených proměnných. Pokud je termody-
namický potenciál popsán pomocí proměnné X , tj. termody-
namický potenciál závisí explicitně na X , tj. $\phi = \phi(X)$, potom
Legendovský sdružený proměnná X je definována,

$$X = - \frac{\partial \phi}{\partial X}$$

(I.11)

Nový potenciál o proměnné x je

(I.12)

$$\tilde{\Phi}(x) = \Phi(x) + X \cdot x = \Phi(x) - \frac{\partial \Phi}{\partial X} \cdot x$$

Tento důležitý vztah udává způsob, jak vytvořit odpovídající

termodynamický potenciál ze veličinát vztahujících se k popisu

dané fyzikální situace. Obecně Legendreovy sdružené

jsou vždy zobecněná souřadnice A_i a zobecněná síla a_i .

Přitom prvok je extenzivní, dual je intenzivní veličina.

Jelikož termodynamický potenciál je extenzivní veličina, potom

a homogenita plyne, že alespoň jedna proměnná musí být

extenzivní (Gibbsova-Duhemova věta).

Příklady:

Uvedeme zde několik příkladů termodynamických potenciálů.

Budeme uvažovat pouze V, N jako dvojici (extenzivní) veličin.

Od vnitřní energie $E(S, V, N)$ můžeme přepř +

Legendreovou transformací k novému potenciálu.

Volná energie:

$$F(T, V, N) = E(S, V, N) - TS$$

entalpie

$$H(S, p, N) = E(S, V, N) + pV$$

volná entalpie

$$K(T, p, N) = E(S, V, N) - TS + pV$$

Gibbsovo potenciál

$$\Omega(T, V, \mu) = E(S, V, N) - TS - \mu N$$

§I.3

Termodynamická limita a analytické vlastnostipartiční suma

Dosud jsme diskutovali pouze jediné asymptotické limity, kterým prooddáme k tomu, abychom získali statistický popis rovnovážné stavy. Ale již z elementárního statistického mechaniky víme, že aditivita termodynamické entropie a ekvivalence statistického entropie získáme pouze v termodynamické limitě. Tato je definována jako limita nekonečného objemu $V \rightarrow \infty$ při fixované hustotě částic n , $n = N/V = \text{const}$. Tato limita je neuvěřitelně důležitá i pro existenci fázových přechodů v rigorózním smyslu. Závěr jsme jako fázový přechod charakterizovali z hlediska

entalpie

$$H(S, p, N) = E(S, V, N) + pV$$

volná entalpie

$$K(T, p, N) = E(S, V, N) - TS + pV$$

Gibbsův potenciál

$$\Omega(T, V, \mu) = E(S, V, N) - TS - \mu N$$

§I.3

Termodynamická limita a analytická vlastnostipartiční suma

Dosud jsme diskutovali pouze jedinou asymptotickou limitu,

kterou provedeme k tomu, abychom získali statistický popis

rovnovážného stavu. Ale již z elementárních statistické

mechaniky víme, že aditivita termodynamické entropie

a ekvivalence statistického entropie získáme pouze v termo-

dynamické limitě. Tato je definována jako limita ne-

změněného objemu $V \rightarrow \infty$ při fixované hustotě částic

n , $n = N/V = \text{const}$. Tato limita je neméně důležitá

i pro existenci fázových přechodů a rigoróznímu slyšení.

Žádná jsme jako fázový přechod charakterizovali ačkoli

stabilizacji makroskopicznego stanu sprężyn se zwichom

charakterystyczny wzrost prostemu temu stanu opisany,

W termodynamicznym limicie możemy także stworzyć mat-
matyczny formalizm pomiaru nieanalizowania termodyna-
micznego potencjału. Jestliż wpływ mikroskopijny wzrost

prosto makrodynamicznego wzrostu prostemu makroskopijny

parametrów opisany makroskopijny stan, potem niestabilizacji

stanu zaimponować przedrost minimum (maksimum) w maxi-

mum (minimum) i inflexion bod. Właściwość propad-

niętym (dla derivative) termodynamicznego potencjału

je singularnym lub przechodzącym. Tu. bod. niest-

bilizacji w termodynamicznym limicie (m. tożsamość bod. wa-
głości termodynamicznego potencjału,

Singularity i nieanalizowanie w termodynamicznym limicie

podkreślają różnicę między różnymi wyrażeniami z tego,

Yangouca i Liouca zez,

Předpokládáme, že máme systém složený z N částic uzavřených v objemu V . Dále předpokládáme, že každá

částice má minimální objem V_0 , do kterého může být

stlačena. Tzn. v objemu V může být maximálně

$M(V) = \lfloor V/V_0 \rfloor$ částic, jestliže $Q_N(V)$ je partiční

suma pro systém uzavřený v objemu V skládající

se z N částic. Platí

$$Q_N(V) = 0 \quad \text{pro } N > M(V)$$

Veliká kanonická suma se tedy redukuje na kanonický

polynom

I.13)

$$\mathcal{Z}(z, V) = 1 + z Q_1(V) + \dots + z^M Q_M(V)$$

kde $z = e^{\beta \mu}$, jelikož $Q_e(V) > 0$, potom

$\mathcal{Z}(z, V)$ nemá reálné pozitivní kořeny a stávající

rovnice

$$\frac{P}{kT} = V^{-1} \ln \mathcal{Z}(z, V)$$

(I.14)

$$n = V^{-1} z \frac{\partial}{\partial z} \ln \mathcal{Z}(z, V)$$

neobsahuje singularitý a P_1 n jeho analyticku
funkciu prvého r. Yangoz a Liou zety
odpoveda o druhu termodynamického potenciálu
v termodynamickom limite,

YL-1: Limita

$$F_{\infty}(z) = \lim_{V \rightarrow \infty} \frac{1}{V} \ln Z(z, V)$$

existuje pre všetky $z > 0$ a je spojitou a holomorfnou

funkciou z . Táto limita je nezávislá na trase objemu V

za predpokladu, že počet je omezen $c V^{2/3}$.

YL-2:

jestliže oblast R v rovině komplexních z obsahuje
segment kladné reálné osy s řádkem polů kladných (anomalie)

smery, potom na této oblasti termodynamický potenciál

$V^{-1} \ln Z(z, V)$ konverguje stejnoměrně a limita $V \rightarrow \infty$

je analytickou funkcí na R .

Y YL forzen plyne, že termodynamický potenciál

v termodynamickém limitech $V \rightarrow \infty$

$$\Omega(T, V, \mu) = -k_B T \ln \mathcal{Z}(T, V, \mu)$$

je spojitým a nerostoucím funkcí parametrů μ .

Požadujeme termodynamický potenciál obsahující neanulovatelnost,

přičemž to lze divergenci v derivaci termodynamického po-

tenciálu. Tyto neanulovatelnosti korespondují s fyzikální

přechody, kdy ^{se} dává rovnovážný stav popsán termody-

namičtím potenciálem stále nestabilitou a termodynamický

potenciál již nebude minimum ve fyzickém prostoru mazo-

stopičtí proměnných.

Ehrenfest: Paul Ehrenfest navrhl klasifikaci fyzikálních

(přechodů) vycházející ze spojitosti chemického potenciálu

μ , který je z Gibbsovy-Duhemovy rovnice termodynamický

potenciál: $\mu N = K(T, p, N)$. Ehrenfest

definuje fyzikální přechod n -tého druhu, jestli

jestliže n -tá derivace chemického potenciálu ykazuje
nespojitosť. Tato charakteristika máš menšiu úplnosť,
neboť ne nutne se neanalytickosť prôjsoj nespojitosť
derivace termodynamického potenciálu. Ve spojitých prô-
sojoch přechodu n -tá derivace ($n \geq 2$) termodynamického
potenciálu diverguje. Podobně se mění při n -tá derivace,

§ I.4

Typy fázových přechodů a jejich charakteristiky

Rozhodneme (metu) stabilní stavy odpovídající fázemi. Tyto
fáze jsou charakterizovány specifickými hodnotami určitých
veličností nebo určitých proměnných. Fázové přechody
jsou pak charakterizovány změnou (skokovou) určitých
parametrů. Nejzřejmější charakteristickou fázovou změnou
je existence fáz, parametrů uspořádaných. Ten je v jedné
fázi nulový a v druhé nenulový. Typickým příkladem

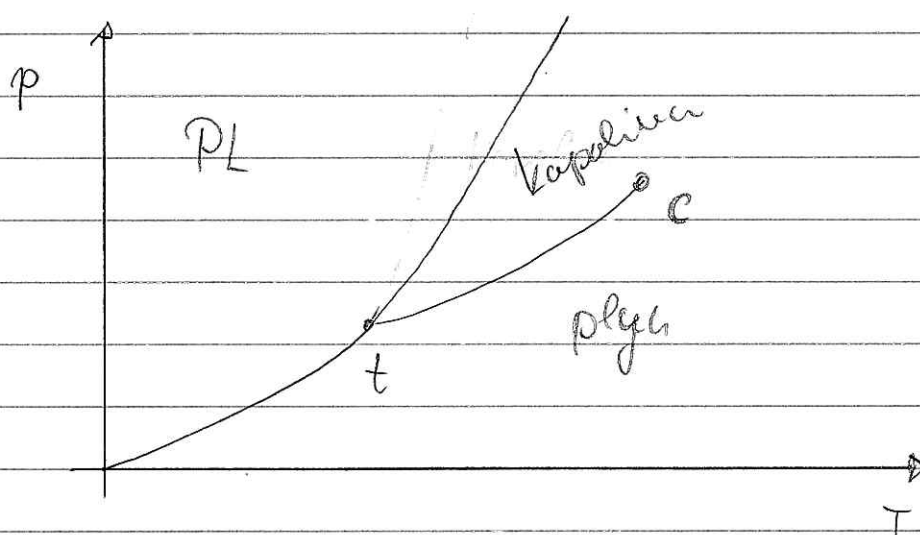
jestliže n -tá derivace členů potenciálu ylaže
nespojnost. Tato charakteristika máš new u'plna,
neboť ne nutně se neanaglicnost projev' nespojnost'
derivace termodynamického potenciálu. Ve spojit'ch p-
roz'ch přechodch n -tá derivace ($n \geq 2$) termodynamického
potenciálu diverguje. Školem se new ať y s'ci' derivace,

§ I.4

Typy fázových přechodů a jejich charakteristiky

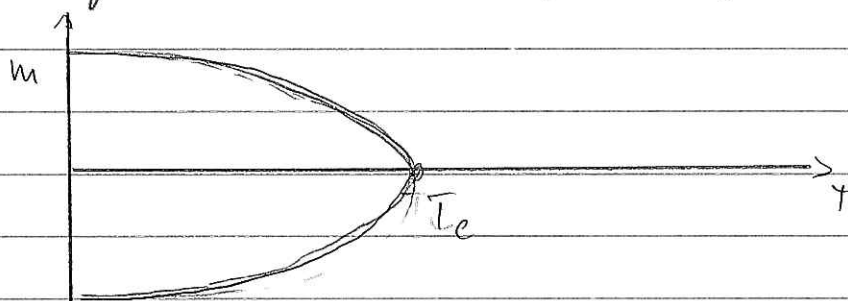
Rozhodně (metu) stabilu stny nadržované fázemi. Jt's
láre isn charakterizace specificku hodnotu w'it'ch
v'it'ch nebo v'it'ch proměnych. Fázové přechody
ism pař charakterizace z'menou (skoroou) v'it'ch
parametrů. Nejv'it'ch charakteristika fázové změny
je existence tzv. parametrů uspořádaní. Ten je v'it'ch
fáz' m'it'ch a v'it'ch nem'it'ch. Typicku příkladem

parametr usporádan je spontrná magnetizace
 u feromagnetik. Fázový diagram zobrazuje
 oblasti existence stabilních fází a prostou makro-
 skopický parametr. Typickým fázovým diagramem
 jednosložkového látky (PVT-diagram) je



Hranice fází jsou line koexistence, tj. linie podél
 kterých obě fáze jsou v rovnováze. V tomto fázovém
 diagramu jsou dva speciální bod $t = (T_t, P_t)$
 a $c = (T_c, P_c)$ charakterizující kritický a kritický
 bod. V prostoru koexistence všech tří fází a v druhém
 pololetí roztaví mezi fázemi a plně vyumí.

glinu vyznamuju fyziku diagramu, ktorej
poradi bude stredom je magnetiz'



Tento veľký obrázok v (m, T) rovine. Zde line
nem hranu meri fyziku, ale hodnotu magnetizace
v rovnovážnom stave. Magnetizace je typický
parametr usporiadania rozlišujú usporiadania
fyz (u=0) od magnetiz usporiadania (m ≠ 0).

Parametrom pre prechod kapalina - pfa je

(I.15)

$$\phi(T) = S(T) - S_{\text{reg}}(T),$$

pričom $S(T)$ nem tepelné vystredovanie, ale obmedzené,
fluktuačný rastok, v prípade magnetizmu (spinové)

h.

$$\vec{M} = \mu \sum_i \vec{S}_i.$$

Parametr usporádaný je typickým makroskopickým veličinou pomocí které můžeme rozlišit rozdíly.

Pokud místo vyšetřované veličiny, parametr usporádaný přejdeme k její ohraničené hodnotě, můžeme

již i v neusporádané formě identifikovat existenci nestabilit. Jestliže parametr usporádaný je veličina

$\langle A \rangle$, potom změna energie související se změnou této veličiny je

$$(I.16) \quad \delta E(a) = - \int dx a(x) \cdot \Delta A(x) = - \int dx a(x) A(x)$$

Tuto změnu energie dodáme systému jako práci a budeme uvažovat nový systém:

$$(I.17) \quad F[a] = -\beta^{-1} \ln \text{tr} \exp \{ -\beta [H + \delta E(A)] \}$$

kde nová celková energie je funkcí nového Lagrangeova schéma zohledněné již k proměnné $A(x)$, která je funkcí na fyzickém prostoru fyzikálních proměnných.

Kolna energie $F[a]$ se nazývá vztahující funkci-
onální, neboť pomocí derivací podle zobecněné sf
 $a(x)$ získáme všechny závislosti na parametru $a(x)$

Parametr uspravedlněno potom je:

$$(I.18) \quad \langle A \rangle = - \int dx \frac{\delta F[a]}{\delta a(x)} \Big|_{a=0}$$

Druhou derivací podle zobecněné sf získáme tzv.

korelační funkci

$$(I.19) \quad G^{(2)}(x, y) = \frac{1}{\beta} \frac{\delta^2 F[a]}{\delta a(x) \delta a(y)}$$

Tato funkce je vyjádřena pro rozporovanou kritickou
bodku a prozradí přechodu (2. druhu, spojité),
neboť v kritické bodě tato funkce diverguje

$$(I.20) \quad T \rightarrow T_c \quad G^{(2)} = \frac{1}{V} \int dx dy G^{(2)}(x, y) \rightarrow \infty$$

Korelační funkce je důležitým prostředkem, pomocí

k určew a charakteristice farový přechod. Farový přechod (spojitý) se projevuje jako divergence korelační funkce. Divergence se projevuje díky velkým ohřevům, tj. pouze v termodynamickém limitu. Korelační funkce na velkých vzdálenostech má asymptotiku

$$(I.21) \quad G(x, y) \sim \frac{e^{-|x-y|/\xi}}{|x-y|^{d-2}} \quad (T > T_c)$$

kde ξ je tzv. korelační délka. V kritickém bodě

$T = T_c$ potom korelační délka ξ diverguje:

$$(I.22) \quad \xi = - \frac{|x-y|}{\ln\{|x-y|^{d-2} G(x, y)\}} = \infty$$

jestliže korelační funkce Fourierově transformujeme

do prostoru hybností, potom je problém asymptotika (tj. $|q| \rightarrow 0$) je

$$(I.23) \quad \tilde{G}(q) = \frac{a}{q^2 + m(T)}$$

kde $n(\tau) = \xi^{-2}$ je efektívna hustota kritického fluktu-
 acie. Kritická fluktuácia o $T = T_c$ potom zhrnú hustotu
 a merníma o neteknom módu $\approx u = 0$.

Farzod predložil tiež inšpirujúcu divergenciu o korelaci-
 ách funkciách. Existencia divergencie na jednej strane spôsobuje
 problémy popisu kritického jevu, na druhej strane však popis
 môže zjednodušiť. Toto zjednodušenie nastáva s tým, že
 divergencie umožňujú opísať divergentnú reláciu cel medi-
 ventných. Toto ide o základnú tv. Isalorav teorie kritického
jevu, ktorá zjednocuje popis tv. universalnej relácie,
 ktorá vyjadruje divergencie o kritickom bode. Universal-
 nej relácii je pri charakterizovaní kritického exponentu,
 ktorý vyjadruje "zrýchlenie" divergencie. K zavedeniu kri-
 tického exponentu potrebujeme zaviesť tv. kontrolný
parametr, ktorý kontroluje prístup kritického bodu.
 V prípade klasického farzodského predloženia je tento

bezrozměrných parametrů

$$(I.23) \quad \theta = |1 - T/T_c|$$

Typické kritické exponenty jsou:

korelační funkce : $G(r) \sim \theta^{-\beta}$

korelační délka : $\xi \sim \theta^{-\nu}$

měrné teplo : $C_V \sim \theta^{-\alpha}$

parametr uspořádání : $A \sim \theta^\beta \quad T < T_c$

Existují ještě další kritické exponenty pro $T = T_c$, kdy

kritický parametr není θ , ale k nim se dostaneme později.

Jednotlivé kritické exponenty nejsou nezávislé a platí mezi nimi

jisté relace popsané Widomovou a Kadanoffovou škálovacími hypotézami.

Poslední charakteristickou fázovou přechod, o které se v této kapitole zmíníme, je tzv. spontánní narušení symetrie.

Většina fázových přechodů vykazuje vlastnost, že symetrie zkolab.

mŕo i rovnovážny stav je mŕ, než symetrie ha-
 miltoniánu. Tzn. existuje transformace U , vŕu mŕ
 je hamiltonián invariantnŕ, tj. $H = U H U^\dagger$, ale
 ktora nemŕ identitu, pokud pŕobŕ na parametr uspořádko-
 mŕ, tj. $A' = U A U^\dagger$, pokud $A \neq 0$. Tj. v uspořádku
 pŕi new rovnovážny stav invariantnŕ vŕi transformací
 U . Symetrie U hamiltoniánu ŕh spontánnŕ, bez ovejŕho
 pŕstevnŕ narušŕna. Toto spontánnŕ narušŕnŕ vŕal nemŕ
 nastŕt vŕpne bez ovejŕho pŕpudŕ. Vŕpne stŕednŕho pŕs
 ŕŕdnŕ realizace musŕ zachovat symetrie hamilto-
 niánu. Tzn. jestliže jeden rovnovážny stav vŕazuje
 hodnotu parametru uspořádku A , pŕto u stejné
 pŕstevnŕ, tj. se stejnŕ energiŕ je i kaŕdŕstŕ
 $U A U^\dagger$. Vŕsem experimentálnŕ se realizuje pŕze stav
 jedinŕ. Pŕto, abŕchom vŕŕali jednoruácnŕ rovnováž-
 ny stav, musŕme ŕ pŕioruŕ narušŕt symetrii hamil-

formu, která není splněna v zorném poli. Všechny
 ale dostaneme zavedením zohlednění δf , jeho změny
 pole, legendových sdružení s parametry uspořádaných.

II. matematické vzhledy hamiltonianu

$$(I.24) \quad H \rightarrow H - \int d^3x \, a(x) A(x)$$

Termodynamický potenciál pro "narušený systém" bude

$$(I.25) \quad F[a] = -k_B T \ln \text{Tr} \exp \left\{ -\beta \left(H - \int d^3x \, a(x) A(x) \right) \right\}$$

Všechny pole $a(x)$ narušených invariantů hamiltonianu H

níže transformací U je podle pomocných veličin, která

hází k odvození potřebných termodynamických veličin a

vzhledem "preferenčního směru" pro parametry uspořádaných.

Na konci vzhledu potom položíme $a \rightarrow 0$. V uspořádané

formě potom parametry uspořádaných zaměříme ve vzhledu

směru.

§1.5 Model pro popis fázového přechodu

Pokud budeme mluvit o fázovém přechodu, tak budeme mít namysli nějakou spojitou funkci s divergencí korelační funkce. Tj. předpokládáme, že když se mění nějaká státní daná funkce, daného řešení. Pak bychom automaticky předpokládali.

Kladem bude pravidelnou diskrétní struktura a podobně krystalické mřížky. Budeme tedy uvažovat mřížkovou funkci ρ pouze, neboť zde je automaticky vyřešen problém ultravioletové divergence. Elementární objem připadá na jeden uzel orádne $v_0 = 1$. Mřížku L^d bude obsahovat přibližně $N = L^d$ částic nebo elementárních objemů.

A) Model mřížkového plynu

Uvažujeme plyn jako částice jsou nestlačitelné, přičemž každá částice zaujme elementární objem $v_0 = 1$. Celý prostor rozdělíme na N elementárních cel, které budou obsahovat částice

nebo co. částice vzájemně interagují \vec{r}_{ij} , z energetky

je výhodnější, když dvě soustředíme celým oborem částicemi.

Hamiltonián takového systému můžeme zapsat

$$(I.26) \quad H = 2J \sum_{\langle ij \rangle} e_i e_j \quad J < 0$$

průměry i, j jsou dvojice elementárních cel, $\langle ij \rangle$ jsou

nejbližší sousedé, $e_i = 0, 1$ podle toho zda cel je

prázdný nebo obsazený. Partiční suma tohoto modelu je

$$(I.27) \quad Z = \sum_{\{e_i\}} \exp \left\{ \beta \mu \sum_i e_i - 2\beta J \sum_{\langle ij \rangle} e_i e_j \right\}$$

B. Isingův a (klasický) Heisenbergův model

Isingův model sehrál nejdůležitější roli ve vývoji metod

popisu fázových přechodů. Navržen fl. W. Lenzem v. 1920

na popis feromagnetie. V. 1925 E. Ising zprůvě

řel model o $d=1$, Onsager potom v. 1944 pro $d=2$.

V sedemdesiatych rokoch bol Isingov model prvým
príkladom pre výskumovú teóriu renormalizačnej grupy
K. Wilsona.

V Isingovej modeli predpokladáme, že na každom uzle
môže byť se načasom lokalizovaný spin, jeho prídok do
oxy kratochvilí máre najprv prave hodnota $\pm \mu_B$. Magneto-
tizácia anisotropie se zmeru oxy kratochvilí se předpokládá.

Tudiž pouze S_z - komponenty spinu jsou relevantní. Jestliže
položíme $\mu_B = 1$ pak Isingova hamiltonián lze psát;

(T.28)

$$H = - \sum_{\langle ij \rangle} J_{ij} S_i S_j - B \sum_i S_i$$

Spin mábyť hodnota $S_i = \pm 1$, J_{ij} je spinová výměna,

kteřá je záporná pro feromagnetismus a kladná pro anti-
feromagnetické materiály. Partiční suma potom je

(T.29)

$$Z = \sum_{\{S_i\}} \exp \left\{ B \left(B \sum_i S_i - \frac{1}{2} \sum_{ij} J_{ij} S_i S_j \right) \right\}$$

V kľúčovej lekcii Heisenberg zobecní Isingov model na izotropný systém, kde spin na jednotlivých uzloch môže môcť narábať do ľubovoľného smeru, stavov priemer spinu S_z z Isingov modelu je nahraden vektorm \vec{S} , stojacím v magnetickom poli. Partičná suma Heisenbergov modelu je

(I.30)

$$Z = \sum_{\{\vec{S}_i\}} \exp \left\{ \beta \left(\vec{B} \cdot \sum_i \vec{S}_i - \frac{1}{2} \sum_{ij} J_{ij} \vec{S}_i \cdot \vec{S}_j \right) \right\}$$

pri čom suma přes všetky konfigurácie je spojivým integrálom s omezením na veľkosť spinu:

$$S = S_x^2 + S_y^2 + S_z^2.$$

Kommutativnosť prvkov spinu v klasickom modeli nemá vplyv na úvahy.

C. Gaussov a sférický model

Problém Isingov modelu je, že spin má iba dve praxe diskretizované hodnoty ± 1 . To robí riešenie tohto modelu

kritérium, ktoré poradí pri zadaní normalizačnej

grupy, je tzv. gaussovský model, ktorý zobecňuje Isingov

spinový na spojité premenné s reálnymi hodnotami z $(-\infty, \infty)$

Partičná suma gaussovského modelu je

$$(I.31) \quad \mathcal{Z} = \int \mathcal{D}S \exp \left\{ -\frac{1}{2} \sum_i S_i^2 + \frac{\beta}{2} \sum_{ij} J_{ij} S_i S_j + \beta B \sum_i S_i \right\}$$

kde $-S_i^2/2$ je "gaussovská" mierná raznosť, že sfiednu

rodinu S_i^2 je f. $\mathcal{D}S = \prod_{i=1}^N \frac{dS_i}{\sqrt{2\pi}}$ je funkcionálnu diferen-
ciál,

Ďalším kritérium zobecněním Isingov modelu je tzv.

sferický model vypracovaný Kacem a Berlinem v r. 1952. Par-

tičná suma tohto modelu je

$$(I.32) \quad \mathcal{Z} = \int_{\sum_i S_i^2 = N} dS_1 \dots dS_N \exp \left\{ \beta \left(B \sum_i S_i - \frac{1}{2} \sum_{ij} J_{ij} S_i S_j \right) \right\}$$

Tu, spinový pre spojité premenné, ako v gaussovskom modeli

spinový má omezenú (normalizáciu)

$$\sum_i S_i^2 = N$$

D. Isingův model v přímém magnetickém poli a kromer

Heisenbergův model

Poslední uvažované modely mají čistě klasický charakter. Kvantová

statistika račne bť vřazována i bť, bť neložutivnost opero-

vní račne bť vřazována i bť, bť neložutivnost opero-

vní račne bť vřazována i bť, bť neložutivnost opero-

bť i související s tepelnými fluktuacemi. Poslední kritické

bť i související s tepelnými fluktuacemi. Poslední kritické

Kelvin a její slouky) proto je nutné v modelu explicitně

uvést i neložutivnost operátorů. V Heisenbergově

modelu je to neložutivnost projekční spinové operace.

Nejjednodušší bť je Isingův model v přímém magnetickém

poli. Anisotropie systému vede ke vzájemným interakcím

slouží S_z spinu, bť i související s tepelnými fluktuacemi. Poslední kritické

na S_x slouží spinu. Spinové proměnné můžeme repre-

zentrovat pomocí Pauliho matic. Partiční suma bude
mít formu

$$(I.33) \quad \mathcal{Z} = \text{Tr}_{\{0\}} \exp \left\{ +\beta \left(B \sum_i \hat{\sigma}_i^x - \frac{1}{2} \sum_{ij} J_{ij} \hat{\sigma}_i^z \hat{\sigma}_j^z \right) \right\}$$

kde $\hat{\sigma}^x = \frac{1}{\sqrt{2}} \begin{pmatrix} 0 & 1 \\ 1 & 0 \end{pmatrix}$, $\hat{\sigma}^z = \frac{1}{\sqrt{2}} \begin{pmatrix} 1 & 0 \\ 0 & -1 \end{pmatrix}$ a stopa Tr je

z celého mřížového prostoru $H_1 \otimes H_2 \otimes \dots \otimes H_N$ přes

všechny uzly mřížky.

Kvantový Heisenbergův model analogicky

$$(I.34) \quad \mathcal{Z} = \text{Tr}_{\{0\}} \exp \left\{ \beta \left(\vec{B} \cdot \sum_i \hat{\vec{\sigma}}_i - \frac{1}{2} \sum_{ij} J_{ij} \hat{\vec{\sigma}}_i \cdot \hat{\vec{\sigma}}_j \right) \right\}$$

kde se opět přikročí nerozlučitelnost spinových operátorů:

$$(I.35) \quad [\hat{\sigma}_i^x, \hat{\sigma}_i^y] = 2i\hat{\sigma}_i^z, \quad [\hat{\sigma}_i^y, \hat{\sigma}_i^z] = 2i\hat{\sigma}_i^x, \quad [\hat{\sigma}_i^z, \hat{\sigma}_i^x] = 2i\hat{\sigma}_i^y$$

Tyto komutátorské relace lze opět splnit Pauliho maticemi;

$$\text{kde } \hat{\sigma}^y = \frac{i}{\sqrt{2}} \begin{pmatrix} 0 & 1 \\ -1 & 0 \end{pmatrix}.$$

E. Anderson a Hubbardov model

Všetchny dosud uvažované modely, at' klasické či kvantové, byly rovněž jen popis magnetických vlastností izolantů a polovodičů, tedy spínů, nosců elektronů, jen dráhově lokalizované na určitých místech, tj. lokálních orbitách. Vlastní kinetická energie je zanedbatelná, pokud Fermiho energie je uvažována, tj. neobsahuje volné nosiče náboje. Kraťové prvky přechodů, tedy kvantové fluktuace (jen relevantní) nastávají se většinou při padu v kovech, tj. v materiálech s volnými nosiči náboje na Fermiho energii.

Pro modely kovů jsou důležité dvě energetické řádky, kinetická energie elektronů a dosah elektrostatické interakce.

Díky přítomnosti mnoha volných elektronů je coulombická interakce silně stíněna v kovech, takže je silně krátkodohodová. Extrémním případem stíněné interakce je Hubbardova + Slaterova lokální účinnost, tj. elektrony se repulují pouze pokud se

možnosť na niektoré atómové orbite stejného uzlu. Väčšiu

významným zjednodušením je tzv. tesnorazetný popis.

V tomto popise neuravňujeme pohyb elektrónu jako spojité

číslo častice problém, ale sonda "průběhu" z jedno ató-

mové orbitě na jinou. Tento "hopping" pohyb popisujeme

amplitudami průběhu mezi jednotlivými uzly. Vzhledem

tohoto popisu lze periodicitu struktury mřížky iontů, se

kterou se elektrony pohybují. Tato periodičita, nebo diskrétní

translační invariance, se projevuje v periodicitě potenciálu,

se kterým se elektrony pohybují. Tj. platí:

$$(I.36) \quad V(\vec{R}) = V(\vec{r} + l\vec{a}_1 + m\vec{a}_2 + n\vec{a}_3) = V(\vec{r})$$

kde $\vec{a}_1, \vec{a}_2, \vec{a}_3$ jsou tzv. primitivní vektory výměřových

směrů periodičnosti mřížky. Primitivní vektory jsou jednotko-

vé a určují elementární objem primitivního cel

$$(I.37) \quad V_0 = \vec{a}_1 \cdot (\vec{a}_2 \times \vec{a}_3)$$

Tm. každou funkci o přímém prostoru mřížky
(periodičnost)

* if reduction cost, 1/8 up to 32

$$\leq \text{cost} \quad |k \cdot \tilde{Q}| \leq 1$$

representovat trojici celých čísel, $\vec{A} = (l, m, n)$, \vec{A} indexem určí mříž a vektorem \vec{r} z elementárních primitivních celých, \vec{A} .

$$V_{\vec{A}}(\vec{r}) = V(\vec{R}) = V(\vec{r} + l\vec{a}_1 + m\vec{a}_2 + n\vec{a}_3).$$

Díky periodicitě krystalové mřížky i prostor hustoty bude mít periodickou strukturu. Tímto tvo. reciprobní mřížku.

Jestliže \vec{R}_i je souřadnice určí mřížky, potom zřetězuje znamenek vektorů v prostoru hustoty

$$\vec{K} \cdot \vec{R}_i = 2\pi j$$

Primitivní vektory v reciprobním prostoru mají vyjádření pomocí primitivních vektorů z přímého prostoru:

$$(1.38) \quad \vec{K}_1 = \frac{2\pi(\vec{a}_2 \times \vec{a}_3)}{V_0}, \quad \vec{K}_2 = \frac{2\pi(\vec{a}_3 \times \vec{a}_1)}{V_0}, \quad \vec{K}_3 = \frac{2\pi(\vec{a}_1 \times \vec{a}_2)}{V_0}$$

Tyto tři vektory v prostoru hustoty definují primitivní

celu, tzv. Brillouinova zóna (BZ) tak, že každou f. m. m. m. lze zapísat

* $\psi_n(\vec{r})$ je periodický problémový vlnový element
kde N_0
—

$$(I.39) \quad \vec{K} = \vec{k} + \lambda \vec{K}_1 + \mu \vec{K}_2 + \nu \vec{K}_3$$

přičemž $\vec{k} \in \mathbb{BZ}$, (λ, μ, ν) jsou tzv. Millerovy indexy,

kteřé označují rovinu v recipročním prostoru s normálou

$$\vec{K} = \lambda \vec{K}_1 + \mu \vec{K}_2 + \nu \vec{K}_3.$$

Těsnorozbitný popis vztáhu periodičnosti mřížky, tj.

redukuje přímé smíradnice na uzlové smíradnice \vec{K}_i .

Dále vnitř proměnnou $\vec{r} \in \mathcal{V}_0$ fyzikální řešení se

maluje indexem lokálních stavů tzv. Wannierových

funkcí. Wannierovy funkce jsou skutečně funkce pro lokální

stav přitom jejich asymptotika je modifikována. ¹⁸ Je

Wannierovy funkce z mřížky užito, mřížka je ortogonální,

Prostor integrovatelných funkcí $L_2(\mathcal{V}_0)$ na objemu \mathcal{V}_0

může reprezentovat rozložení do Wannierových funkcí⁺,

$$(I.40) \quad f(\vec{r}; \vec{r}) = \sum_n f_{i,n} \varphi_n(\vec{r}).$$

Toto vztah je třeba a místo smíradnice \vec{r} bude-

me pracovní s "přirozeným" indexem n . Tzn. obecnou periodickou funkci $f(\vec{r})$ nahradíme matricovými elementy

$$f_{in} = \langle f | \varphi_n \rangle. \quad \text{Výsledkem tohoto popisu je, že}$$

v nízkoenergetické limitě můžeme pracovat jen s absolutně

málo nejnižšími přirozenými indexy n . Pro fixní orbitální

nebo proudový index n lze potom zjednodušit i popis v reci-

prostoru prostoru. Fourierova obraz na diskrétní mříž

definujeme

$$(I.41) \quad \tilde{f}_n(\vec{k}) = N_0 \sum_i f_{in} e^{i\vec{k} \cdot \vec{r}_i}$$

Důležitou platí, že funkce $\tilde{f}_n(\vec{k})$ je periodická

v recipročním prostoru, tj. $\tilde{f}_n(\vec{k} + \vec{K}) = \tilde{f}_n(\vec{k})$,

Teuto fakt je přímým důsledkem relace $\vec{K} \cdot \vec{r}_i = 2\pi j_i$.

Tj. pro popis funkce f_n stačí teď uvážovat vektor

$\vec{k} \in \mathbb{BZ}$ z první Brillouinovy zóny. Inverzní Fou-

rierova transformace pak je

(I.42)

$$f_{in} = \frac{1}{Nv_0} \sum_{\vec{k} \in BZ} e^{-i\vec{k} \cdot \vec{R}_i} \tilde{f}_n(\vec{k})$$

V ďalšom výbloku položíme $v_0 = 1$, $Nv_0 = V$.

S touto elementárnou realitou reprezentácie kúsne vzá-
 mosť môžeme nyní reformulovať fundamentálny model kordo-
 vanej elektronů. Nejednoduchosti a přesto exaktní re-
 šitelný modellem je tzv. Andersonův model magnetické
 příměsi v kovové matici. Jeho Hamiltonián a
 druhé komutace má tvar:

(I.43)

$$H = \sum_{\vec{k} \in BZ} E(\vec{k}) a_{\vec{k}\sigma}^{\dagger} a_{\vec{k}\sigma} + \sum_{\sigma} E_d a_{d\sigma}^{\dagger} a_{d\sigma} + \sum_{\vec{k} \in BZ} (V_{\vec{k}d} a_{\vec{k}\sigma}^{\dagger} a_{d\sigma} + V_{d\vec{k}} a_{d\sigma}^{\dagger} a_{\vec{k}\sigma}) + U a_{d\uparrow}^{\dagger} a_{d\uparrow} a_{d\downarrow}^{\dagger} a_{d\downarrow}$$

V tomto modelu neinteragujících elektronů kovové matrice

$a_{\vec{k}\sigma}$ jsou hybridizované s lokalizovaným elektronem

$a_{d\sigma}$. Tímto elektronem na příměsi ať Coulombův

elektrostatickou interakci. Hybnosti $\vec{k} \in BZ$, $\epsilon(\vec{k})$

je disperzní relace vybraného 'páru' elektronů, index

d. pro lokalizované elektrony označuje centrální uzel s jedi-

non Wannierovými orbitály, V_{ed} je amplituda hybridizace

mezi lokalizovanými a volnými elektrony, Andersonův

model magnetické příměsi vykazuje krutou kritickou tem-

peraturu. Kondensát po, ale kolektivní krutou přechod

přechod s ním souvisí. Nejednoduchý model

interagujících elektronů, kde krutou přechod se

možno realizovat je tzv. Hubbardův model:

(I.44)

$$H = \sum_{\vec{k}, \sigma} \epsilon(\vec{k}) a_{\vec{k}\sigma}^\dagger a_{\vec{k}\sigma} + U \sum_i a_{i\uparrow}^\dagger a_{i\uparrow} a_{i\downarrow}^\dagger a_{i\downarrow}$$

ktej popisuje silnou interakci vlnitých elektronů

v transičním korelu. Je to kanonický model pro popis

ozměn magnetického chování a přechod kov-isolátor.

II. Metody výpočtu statistických veličin

§II.1 Exaktní řešení

Vědecký model pro mikroskopický popis fázového přechodu mají společnou to, že excitace záleží od složení struktury prostorově korelovaných, tj. nejedná se o ideální plyn. Pouze korelace mezi excitacemi je schopna za určitých podmínek vyvolat kolektivní makroskopickou (ohemaron) odezvu na mikroskopickou (pion) poruchu. Nejedná se tedy o ideální plyn, což dává měm partikulární, termodynamický potenciál a ostatní termodynamické veličiny naměřitelné. Pokud systém neztrácí kolektivní korelační charakter, potom lze považovat poruchový kolektivní ideální plyn, kolektivní kooperativní charakter však nelze postihnout konceptem přímé perspektivy poruchové vady. Fázové

přechody je nutné popsat nepřesně, tj. s pomocí
 konečné množiny parametrů členů. Tento fakt ztěžuje
 popis kolektivních jevů, neboť částicová korelace již neumož-
 ňuje být dostatek jako malý parametr. Vyberť tedy členů
 pomocí řady kvalitativně a eventuálně kvantitativně
 popisujících kolektivů jež je nejtežším problémem popisu
 různých přechodů a kritických jevů. Zbytek předlohy bude
 věnován právě tomuto problému.

Jelikož mikroskopické modely jsou obvykle
 zjednodušenými skutečného reálného interakujícího systé-
 mu, bylo by optimální, kdybychom mohli exaktně
 řešit. V tomto ideálním případě nepotřebujeme
 ani pomocnou teorii ani žádný malý parametr. Bohužel
 však exaktní řešení modelů jsme schopni získat pouze
 ve speciálních situacích či limitech, které standardem
 případě nepokrývá ale stále možných různých přechodů.

ke jazykumne) s'mi exaktními řešeními statistické

tzv. jím řešení Isingova modelu v $d=1, 2$.

Řešení Isingova modelu v $d=1$ je primární a analyticky

snadno dostupné. Řešení Isingova modelu v $d=2$ (Onsagerovo

řešení) je již mnohem náročnější. Na rozdíl od $d=1$,

Isingovo model v $d=2$ vykazuje nekonečnou kritickou cho-

vanou, která fundamentálně změnila naše chápání ki-

řiděl jevů.

Pro ilustraci konstrukce exaktního řešení použijeme

dynamický systém zde uvažujeme Isingovo model na reťezce

Pro reťezek délky N bez započtení "periodicity" u konce.

Už korekce dostupnosti:

$$(I.1) \quad H = +J \sum_{i=1}^N S_i S_{i+1} - B \sum_{i=1}^N S_i$$

Ještě budeme uvažovat periodické hranice podmínky,

pokud platí $i+N = i$. Rovnici (I.1) lze ještě zapsat

$$(I.2) \quad H = - \sum_{i=1}^N \left(J S_i S_{i+1} - \frac{B}{2} (S_i + S_{i+1}) \right)$$

Partiční suma je

$$\begin{aligned}
 (\text{II.3}) \quad Z_N &= \sum_{S_1=\pm 1} \dots \sum_{S_N=\pm 1} \exp \left\{ \beta \sum_{i=1}^N \left[-J S_i S_{i+1} + \frac{B}{2} (S_i + S_{i+1}) \right] \right\} \\
 &= \sum_{\{S_i\}} \prod_{i=1}^N \exp \left\{ \beta \left[-J S_i S_{i+1} + \frac{B}{2} (S_i + S_{i+1}) \right] \right\}
 \end{aligned}$$

Zavedeme matici přechodu propojenou mezi $i, i+1$:

$$P = \begin{bmatrix} P_{11} & P_{1-1} \\ P_{-11} & P_{-1-1} \end{bmatrix}$$

$$\text{kde } P_{11} = e^{\beta(-J+B)}, \quad P_{-1-1} = e^{-\beta(J+B)}, \quad P_{1-1} = P_{-11} = e^{+\beta J}$$

Pomocí této matice lze zapsat partiční sumu

$$(\text{II.4}) \quad Z_N = \sum_{\{S_i\}} P_{S_1 S_2} P_{S_2 S_3} \dots P_{S_N S_1} = \text{Tr } P^N$$

Problém řešení Isingova modelu na řetězci se tedy redukuje

na nalezení vlastních úzel 2×2 matice P . Ty určuje

se skalární rovnice

$$\det |P - \lambda I| = 0$$

Jednoduchou úpravou zjistíme

$$(\text{II.5}) \quad \lambda_{1,2} = e^{-\beta J} \cosh \beta B \pm \sqrt{e^{-2\beta J} \sinh^2 \beta B + e^{+2\beta J}}$$

Volná energie Isingova modelu je

$$(II.6) \quad F_N = -k_B T \ln (\lambda_1^N + \lambda_2^N) = -k_B T \left\{ N \ln \lambda_1 + \ln \left[1 + \left(\frac{\lambda_2}{\lambda_1} \right)^N \right] \right\}$$

v termodynamické limite $N \rightarrow \infty$ ($\lambda_2 < \lambda_1$) dostaneme

$$(II.7) \quad F = -k_B T \ln \lambda_1 = -N k_B T \ln \left[e^{-\beta J} \cosh \beta B + \sqrt{e^{-2\beta J} \sinh^2 \beta B + e^{2\beta J}} \right]$$

Z volnej energie môžeme nájsť termodynamické veličiny,

ale pomocou k_B a termodynamických derivácií podľa spin-spinovej

resp. spinovej interakcie J alebo homogénneho magnetického po-

ľa h . Homogenná magnetizácia je

$$(II.8) \quad m = \langle \sigma_0 \rangle = -\frac{1}{N} \frac{\partial F}{\partial B} = \frac{k_B T}{\lambda_1} \frac{\partial \lambda_1}{\partial h} \\ = \frac{\sinh \beta B e^{-\beta J}}{\sqrt{\sinh^2 \beta B + e^{4\beta J}}}.$$

Z tohto vzťahu vidíme, že v limite $h \rightarrow 0$ $m \rightarrow 0$,

a teda nevzniká se spontánna magnetizácia, V tomto spe-

ciálnom prípade teda neexistuje fazový prechod pri koneč-

nej teplote. Orsien magnetická susceptibilita

$$(I.8) \quad \chi(B) = \frac{\partial m}{\partial B} = \beta \cosh \beta B \frac{e^{4\beta J}}{(\sinh^2 \beta B + e^{4\beta J})^{3/2}}$$

V limite nízkých teplot $\beta \rightarrow \infty$ a respinově symetrickém případě dostaneme

$$(II.10) \quad \chi(\omega) \sim \beta e^{-2\beta J} \rightarrow \infty, \quad (J < 0)$$

tj. susceptibilita diverguje v absolutně nule exponenciálně. Tento výsledek nám říká, že Isingův model

v $d=1$ vykazuje kritické chování pro $T=0$. Tento fakt

zřejmě předtím měl nemá příliš velký fyzikální význam, neboť

v absolutně nule teploty Isingův model nemá žádný volný parametr.

Magnetizace je saturovaná, tj. $m=1$. Všechny fluktuace

v nulové teplotě "zamrznou".

Významnou termodynamickou veličinou je korelační

funkce, jejíž divergence indikuje existenci spojitěho fázového přechodu. Tato funkce pro Isingův model je

$$(II.11) \quad \Gamma(j) = \langle S_0 S_j \rangle - \langle S_0 \rangle \langle S_j \rangle,$$

Tuto funkci nemůžeme odvodit přímo z rovnice (II.4)

pro rotnou energii. V Isingově modelu však můžeme
použít následujícího postupu k náms korrelačním funkcím.

Pro jednoduchost položíme $h=0$, dále označíme J_e
spin-spin interakci mezi e -ým a $e+1$ -ým uzlem. Tzn.

$$\langle S_i S_{i+j} \rangle = \frac{1}{Z_N} \sum_{\{S_e\}} S_i S_{i+j} \exp \left\{ \beta \sum_{e=0}^{N-1} J_e S_e S_{e+1} \right\}$$

$$\text{kde } Z_N = 2 \prod_{e=0}^{N-1} (2 \cosh \beta J_e).$$

Ještě je nutné normalizace délek spinů, $S_i^2 = 1$, potom

$$\begin{aligned} \text{(II.12)} \quad \langle S_i S_{i+j} \rangle &= \frac{1}{Z_N} \sum_{\{S_e\}} (S_i S_{i+1}) (S_{i+1} S_{i+2}) \dots (S_{i+j-1} S_{i+j}) \exp \left\{ \beta \sum_{e=0}^{N-1} J_e S_e S_{e+1} \right\} \\ &= \frac{(-1)^j}{Z_N \beta^j} \frac{\partial^j Z_N(J_0, \dots, J_{N-1})}{\partial J_i \partial J_{i+1} \dots \partial J_{i+j-1}} \Big|_{J_e=J} = (\tanh(\beta J))^j \end{aligned}$$

V nulovém magnetickém pole $\langle S_i \rangle = 0$, tzn.

$$\text{(II.13)} \quad \Gamma(j) = (\tanh(\beta J))^j = e^{-j/\xi}$$

kde ξ je korelační délka, v limitě nízké teploty:

$$\xi = - \left[\ln(\tanh(\beta J)) \right]^{-1} = e^{-2\beta J}$$

Výsledok, který je ve srovnání s homogenní magnetizací.

§II.2 Vysokoteplotná rozná

Exaktné riešenie modelu interagujúcich sfetno istn vzacna a najššia metóda riešenia je založená na rozvoji termodynamických veličín. Jelišoz kritické jazy vzrušena pro silnou sfetivnu interakciú, je dobré poznať rozná, ktoré nemajú interakciú konstantu jako malý parameter rozná. Typickým predstaviteľom je vysokoteplotná rozná, 'ktorej' rozná termodynamické veličiny koleu limitu nekonečnej teploty, $\beta \rightarrow 0$. Tento rozná budeme demonštrovať na príklade Isingova modelu.

Obecně je vysokoteplotná rozná charakterizovaná rozkladom partičnu sumy:

$$\begin{aligned}
 \text{(II.14)} \quad Z &= \sum_{\{s_i\}} e^{-\beta H(\{s_i\})} = \sum_{\{s_i\}} \sum_{n=0}^{\infty} \frac{[-\beta H(\{s_i\})]^n}{n!} \\
 &= \sum_{n=0}^{\infty} \frac{(-1)^n}{n!} \sum_{\{s_i\}} [\beta H(\{s_i\})]^n
 \end{aligned}$$

V prípade Isingov modelu môžeme explicitne psot
 $(\epsilon = -J > 0)$:

$$Z_{\text{Ising}} = \sum_{\{s_i\}} \prod_i e^{BB s_i} \prod_{\langle ij \rangle} e^{BC s_i s_j}$$

Ľahko je vykonať normalizáciu spinov, t.j. $s_i^2 = 1$, a dať
 vlastnosti

$$e^{\pm A} = \cosh A \pm \sinh A = \cosh A [1 \pm \tanh A],$$

potom získame

$$\begin{aligned} \text{(II.15)} \quad Z_{\text{Ising}} &= \sum_{\{s_i\}} \prod_i \cosh BE [1 + s_i s_j \tanh(BE)] \prod_k \cosh(BB) [1 + s_k \tanh(BB)] \\ &= \cosh^{N/2}(BE) \cosh^N(BB) \sum_{\{s_i\}} \prod_{\langle ij \rangle} (1 + s_i s_j v) \prod_k (1 + s_k u) \end{aligned}$$

kde $v = \tanh(BE)$, $u = \tanh(BB)$, N je počet uzlov a počet
 susedov má zberu bodu.

Je jasné, že do partičnej sumy prispievajú pouze konfi-
 gurácie se susednými maximálnymi spinmi. Tm. parametra
 u - vystupuje prave v susedných maximách.

jednoduchým číselným vysočteplotníto rozvoje lze
přivádět diagramy, každému faktoru u přivádíme
přímý krah a každému elementu o linii propojením
nejbližšího souseda množiny, součin přes dvojice nejblíže
sousedů ještě rozepíšeme do smětů:

$$\prod_{\langle ij \rangle} (1 + v s_i s_j) = 1 + v \sum_{\langle ij \rangle} s_i s_j + v^2 \sum_{\substack{\langle ij \rangle \\ \langle kl \rangle}} s_i s_j s_k s_l + \dots$$

Takže celkový partiční sum v přítomnosti q -rozměrného pole můžeme obecně zapsat:

$$(II.16) \quad Z_{\text{Ising}} = \cosh^{N/2}(\beta\epsilon) \cosh^N(\beta B) 2^N \sum_{\ell, m} g(\ell, m) \phi_{\ell, m}^m$$

kde funkce $g(\ell, m)$ je počet trajektorií na mřížce
s m koncovými body a celkový délkou trajektorií l.

Platí:

- A) Otevřená trajektorie končí v bodě s opačným polem
 - B) Každý uzavřený mřížkový obvod sahá přes linii
- Číslo linii se nesou "vzácně" postupně trajektorií.

Vysokoteplotný rozvoj lze v některých speciálních
 případech ($d=1, 2$ ^{padě} $h \rightarrow 0$) explicitně. Ve vyšších di-
 menzích však jen numericky lze získat konečný počet členů,
 z nichž pak lze např. odhadnout kritické exponenty.
 Trébaže vysokoteplotný rozvoj diverguje v kritické oblasti,
 lze pomocí Padého approximace úspěšně najít
 tento metodu k určitému typu analytického chování.

II.3

Spojité fluktuace v proměnné-Landauera-Ginz- burgova modelu

Spin v Isingově modelu nabývá pouze hodnot $S = \pm 1$,
 což vedlo na zjednodušenou vysokoteplotní teorii.
 V obecnějších případech diskrétní hodnoty fluktuací
 proměnné však lze spíše nepřirovnat. Pro porovnání
 metody s nekonečným počtem fluktuací proměnné

Výšerotepelný rozvoj lze v některých speciálních případech ($d=1, 2$ ^{padě} $h \rightarrow 0$) explicitně. Ve vyšších dimenzích však jen numericky lze získat hraniční přechod, z nichž pak lze například odhadnout kritické exponenty. Trébaže výšerotepelný rozvoj diverguje v kritické teplotě, lze pomocí Padého aproximace úspěšně najít tento metodou k určitému typu neanalytického chování.

II.3

Spojité fluktuace v proměnné-Landauera-Ginzburgova modelu

Spin v Isingově modelu má jen dvě hodnoty $S = \pm 1$, což vedlo na zjednodušené výšerotepelné rovnice.

V obecnějších případech diskrétní hodnoty fluktuací proměnné však lze spíše nejlépe odhadnout. Pro porovnání metod s nezávislým počtem fluktuací proměnné

je vyhodnotěn přepít na spojité, neomezené fluktuace, tzv. gaussové proměnné.

Partiční suma zotečněního (klasického) Heisenbergova modelu, tzv. O(1) modelu, je

$$(II.17) \quad Z_N = \int \mathcal{D}S \rho(S) \exp \left\{ -\frac{\beta}{2} \sum_{i \neq j} J_{ij} \vec{S}_i \cdot \vec{S}_j + \beta \sum_i \vec{B} \cdot \vec{S}_i \right\}$$

$$\text{ kde } \int \mathcal{D}S \equiv \prod_{j,\alpha} \int_{-\infty}^{\infty} dS_j^\alpha \quad (\alpha = 1, 2, \dots, N)$$

$$\rho(S) = \prod_j \delta(\vec{S}_j \cdot \vec{S}_j - 1) \Gamma(N/2) / \pi^{N/2}$$

je hustota stavů ve spinovém prostoru, $\Gamma(x)$ je Γ -funkce.

Abychom převedli vyjádření partiční sumy O(N) modelu,

použijeme tzv. Hubbardovy-Stratonovičovy transformace,

k čemuž účelem vříd potřebujeme, aby J_{ij} byla invertovatelná

matice, a proto přepíšeme partiční sumu

do tvaru:

$$Z_N = e^{-\frac{\beta}{2} MN} \int \mathcal{D}S \rho(S) \exp \left\{ \frac{\beta}{2} \sum_{i,j} J_{\mu,ij} \vec{S}_i \cdot \vec{S}_j + \beta \sum_i \vec{B} \cdot \vec{S}_i \right\}$$

kde jsme označili $J_{\mu,ij} = \mu \delta_{ij} - J_{ij}$.

Nyní použijeme vlastnost gaussové integrace:

$$\int_{-\infty}^{\infty} \frac{dy}{\sqrt{2\pi a}} e^{-\frac{y^2}{2a} + xy} = e^{+x^2 a/2}$$

Potom můžeme partiční sumu $\mathcal{O}(v)$ modelu reprezentovat pomocí gaussového fluktuotačního pole:

$$(II.18) \quad Z_v = Z_0^{-1} \int \mathcal{D}\varphi \mathcal{D}\psi(s) \exp \left\{ -\frac{1}{2B} \sum_{ij} (J_{\mu})_{ij}^{-1} \tilde{\varphi}_i \tilde{\varphi}_j + \sum_i \tilde{\zeta}_i (\tilde{\varphi}_i + \tilde{B}) \right\}$$

$$\text{kde } Z_0 = \int \mathcal{D}\varphi \exp \left\{ -\frac{1}{2B} \sum_{ij} (J_{\mu}^{-1})_{ij} \tilde{\varphi}_i \tilde{\varphi}_j \right\} e^{\frac{B}{2} \mu v}$$

Integraci přes spinové proměnné můžeme explicitně

provést a dostaneme partiční sumu reprezentovanou

pouze gaussovy fluktuacemi proměnných:

$$(II.19) \quad Z_v = Z_0^{-1} \int \mathcal{D}\varphi \exp \left\{ -\frac{1}{2B} \sum_{ij} (J_{\mu}^{-1})_{ij} \tilde{\varphi}_i \tilde{\varphi}_j + \sum_i U^v(\varphi_i) + \sum_i \tilde{H}_i \tilde{\varphi}_i + \sum_{ij} J_{\mu,ij} \tilde{H}_i \tilde{H}_j \right\}$$

where $\tilde{H}_i = \frac{1}{\beta} \sum_j (J_{ij}^{-1})_{ij} \tilde{B}$.

Effective interaction pol $\tilde{\varphi}$ is

$$\nu=1 \quad U^1(\varphi) = \ln 2 \cos \varphi$$

$$\nu \geq 2 \quad U^\nu(\varphi) = \ln \left\{ 2^{\frac{\nu-2}{2}} \Gamma\left(\frac{\nu}{2}\right) I_{\frac{\nu-2}{2}}(\varphi) / \varphi^{\frac{\nu-2}{2}} \right\}$$

where I_p is Besselon function of order p . Note.

ie, the effective interaction fluctuation pol is logarithmic!

Representative partition sum of gaussian φ

fluctuation pol is well known too. Ginzburg-Landau

Landau-Wilson model is critical φ is not. Tenth model

model is well known too, which includes, the possibility

criticality but the representative pol is not known

So the model is given and interaction element, φ , is not

critical element is relevant. Π partition sum

LGW model is

$$(120) \quad Z_{LGW} = \int \mathcal{D}\varphi \exp \left\{ - \sum_{\langle ij \rangle} w_{ij} \varphi_i \varphi_j - \sum_i \mu^2(i) \varphi_i^2 - \frac{1}{4} \sum_i \varphi_i^4 \right\}$$

LGW model je rozložený polno porovnané tercie

vzhľadom metód Feynmanových diagramov pro odpor

odchýlky od gaussovského modelu. Jeliže v blízkosti

kritického bodu $\mu(T) \rightarrow 0$ porovnáva štruktúru

menšie a meriatomovú vzdialenosť $a \ll \xi$ (štruktúru

dĺžka μ^{-1}), potom dĺžkovú fluktuáciu popisuje

spojitý LGW hamiltonian:

$$(II.21) \quad H_{LGW} = \int d^d x \left\{ \frac{\alpha^2}{2} |\nabla \phi(x)|^2 + \frac{u^2}{2} |\phi(x)|^2 + \frac{1}{4!} |\phi(x)|^4 \right\}$$

Tzn. že LGW model redukuje makroskopický fyzikálny priestor

na tri generované parametre: α, μ, λ , ktoré bodou

v karáckom okamžiku popisujú relevantnú reláciu a vzhľad

hoci formou prídov. Volnou energiou LGW v okolí

kritického bodu keďže riešenie

$$(II.22) \quad F[\mathcal{J}] = -k_B T \ln \int d\phi \exp \left\{ -H_{LGW} + \int d^d x \mathcal{J}(x) \phi(x) \right\}$$

Od nějakého pole $J(x)$ přejdeme Legendrovou transformací

k efektivní "magnetizaci" φ ;

$$\Gamma[\varphi] = \int d^d x J(x) \varphi(x) + BF[J]$$

Allem řešením LGW modelu je např. reprezentací

Gibbsovy nebo energie $\Gamma[\varphi]$ se trvá.

$$(II.23) \quad \Gamma[\varphi] \approx \int d^d x \left[\frac{\bar{\alpha}}{2} |\nabla \varphi(x)|^2 + \frac{\bar{t}}{2} |\varphi(x)|^2 + \frac{\bar{u}}{4!} |\varphi(x)|^4 \right]$$

kte $\bar{\alpha}$, \bar{t} , \bar{u} jsou renormalizované veličiny charakterizující

ve kritickém bodu LGW modelu. Tyto parametry

budeme dále užit k modifikaci perturbace teorie.

§ II.4 Perturbativní teorie a rozvoj podle počtu uzavřených

úplných smyček

LGW model, až už na níže nebo ve spojitě limitě,

je standardně používán pro generování perturbace

Od naší 2D pole $J(x)$ přejdeme Legendrovou transformací

k efektivní "magnetizaci" φ :

$$\Gamma[\varphi] = \int d^d x J(x) \varphi(x) + BF[J]$$

Allem řešením LGW modelu je např. reprezentací

Gibbsovy nové energie $\Gamma[\varphi]$ se tvaru:

$$(II.23) \quad \Gamma[\varphi] \approx \int d^d x \left[\frac{\bar{\alpha}}{2} |\nabla \varphi(x)|^2 + \frac{\bar{u}}{2} |\varphi(x)|^2 + \frac{\bar{v}}{4!} |\varphi(x)|^4 \right]$$

kte $\bar{\alpha}$, \bar{u} , \bar{v} jsou renormalizované veličiny charakterizující

ve kritickém bodu LGW modelu. Tyto parametry

budeme dále užit k modifikaci pokročilé teorie.

§ II.4 Pokročilá teorie a rozvoj podle počtu usazů-

ných směrů

LGW model, at už na mřížce nebo v spojitě kontinuální,

je standardně používán pro generování pokročilých

teorie. Kontrikčný člen v hamiltoniáne (II.20), (II.21) dáva problémy a vedie na nerišiteľnosť tohto modelu. Zgltiže položíme $\lambda=0$, dostaneme gaussovský model, ktorý je ľahšie riešiteľný, nakoľko jeho partičná funkcia predstavuje mnoho-
merný gaussovský integrál. Zgltiže označíme

$$\Delta(x-y) = \langle \phi(x) \phi(y) \rangle_0$$

propagátor (korelačiu funkciu) gaussovského modelu,
potom partičná funkcia LGW modelu $Z[J]$ lze
reprezentovať:

$$(II.24) \quad \frac{Z[J]}{Z_0[0]} = \exp\left\{-\frac{1}{4!} \int d^d x \frac{\delta^4}{\delta J(x)^4}\right\} \exp\left\{\frac{1}{2} \int d^d u d^d v J(u) \Delta(u-v) J(v)\right\}$$

kde $Z_0[0]$ je partičná suma gaussovského modelu pre

$J=0$. Pomocou teórie pre LGW model n'istujeme

Z (II.24) maximálnym rozvojom exponenciály s funkcio-

nálnou deriváciou. Tieto pomocné teórie súčasne priná-

díme grafickou reprezentaci. Každému propaga-
toru, korrelační funkcií gaussovského modelu přiřadíme
linii a každé derivaci potom vektor:

$$\begin{array}{ccc} \text{---} \overset{\curvearrowright}{\text{---}} & \sim & \Delta(x-y) \\ \text{---} \underset{\times}{\text{---}} & \sim & 1 \end{array}$$

Přitom každý vektor v diagramatické reprezentaci
představí právě jednu linii. Při konstrukci diagramů
(Feynmanových) a jejich odpovídajících matematických výjad-
rů platí určitá pravidla. Přitom zdědí, jako
velikou pomůcku. Kromě výše uvedených grafických elementů
zavedeme ještě vektor vektorů, pravdivé body, která
budou odpovídat půstev vektorů pole J . Počet vektorů
vektorů (vektorů pole) vygeneruje symetrii přispívající
diagramů. V PT se omezuje pouze na prvního dia-
gramy, které přispívají do Helmholtzovy volné energie.

Prezradíme $G_C^{(m)}(x_1, \dots, x_m; J)$ súmmou všetkých strikovaných diagramov, ktoré majú práve m vnútorných vrcholov x_1, \dots, x_m .

$G_C^{(m)}$ je polynóm m -bratov Greena funkcie. Pre konštrukciu

diagramatických reprezentácií m -bratov Greenových funkcií

musíme zformulovať Feynmanovo pravidlo stejné ako

v kvantovej teórii poľa.

Feynmanovo pravidlo v prírodnom prostorní: $G_C^{(m)}(\vec{x}_1, \dots, \vec{x}_m; J) \propto \mathcal{O}(1^n)$

1. Sestavíme všetky možné strikované diagramy s m -vnútornými

n -vrcholmi a m -vnútornými zdrojmi \sim vrcholmi $\vec{x}_1, \dots, \vec{x}_m$.

Dva diagramy jsou rovné, pokud je možné na sebe transformovat rotací a posunutím vrcholů a linií.

2. Každému diagramu přiřadíme faktor $(-1)^n$.

3. Každý vnitřní vrchol označíme indexem \vec{x}_i .

4. Každou linii propojující vrcholy \vec{x}_i, \vec{x}_j reprezentuje propagátor $\Delta(\vec{x}_j - \vec{x}_i)$.

5. Přes strážnice vnitřních vrcholů \oint sázka (integrace).

6. Každá linie tvořící "bublinu", tj. uzavřenou křivku ve stejném bodě obsahuje faktor $1/2$.

7. Jestliže 1 linie propojuje některé dva body (vrcholy), potom následující diagram obsahuje faktor $1/e!$.

8. Jestliže mohou být vrcholy vrcholů diagramu přisazeny v -způsobům, že se diagram topologicky zmenší, potom tento diagram přispívá faktorem $1/v$.

První reprezentace poruchové teorie je vhodná pro fyzikální interpretaci elementárních dějů, které jsou tvořeny diagramy představy. Pro praktické účely je však mnohem užitečnější pracovat se Fourierově obrazem fyzikálních veličin. Obecně zavedeme následující Fourierovu transformaci a její inverzi;

$$(II.25) \quad \tilde{f}(\xi) = N_0 \sum_{\vec{x}} e^{-i\vec{\xi} \cdot \vec{x}} f(\vec{x}) = \int d\vec{x} e^{-i\vec{\xi} \cdot \vec{x}} f(\vec{x})$$

$$f(\vec{x}) = \frac{1}{V} \sum_{\vec{\xi}} e^{+i\vec{\xi} \cdot \vec{x}} \tilde{f}(\vec{\xi}) = \int \frac{d\vec{\xi}}{(2\pi)^d} e^{i\vec{\xi} \cdot \vec{x}} \tilde{f}(\vec{\xi})$$

Skadmo zjstine, \tilde{z} (formalne)

$$\int d^d x J(\vec{x}) \phi(\vec{x}) = \int \frac{d^d k}{(2\pi)^d} \tilde{J}(\vec{k}) \tilde{\Phi}(\vec{k})$$

m -bodowa Greenova funkcie na prostoru sklonel obojve formalne je:

$$\tilde{G}^{(m)}(\vec{k}_1, \dots, \vec{k}_m; \tilde{J}) = \langle \tilde{\Phi}(\vec{k}_1) \dots \tilde{\Phi}(\vec{k}_m) \rangle_c$$

$$= (2\pi)^{dm} \frac{\delta}{\delta \tilde{J}(\vec{k}_1)} \dots \frac{\delta}{\delta \tilde{J}(\vec{k}_m)} \ln Z[\tilde{J}]$$

Jeli to model je translacne invariantni, celkom bylo ost se musi zachovat a $\tilde{G}^{(m)}(\vec{k}_1, \dots, \vec{k}_m; \tilde{J})$ obsahuje

δ -funkciu, ktorou explicitne eliminujeme:

$$(I.26) \quad \tilde{G}^{(m)}(\vec{k}_1, \dots, \vec{k}_m; \tilde{J}) = (2\pi)^d \delta(\vec{k}_1 + \dots + \vec{k}_m) G_c^{(m)}(\vec{k}_1, \dots, \vec{k}_{m-1}; \tilde{J})$$

kde $G_c^{(m)}(\vec{k}_1, \dots, \vec{k}_{m-1}; \tilde{J})$ je redukovaná Greenova funkcia.

Prietoost reprezentacie pomoru sklonel vektro je v tom, ze propagator $\Delta(\vec{x}-\vec{y})$ je diagonalny

$$(I.27) \quad \Delta(\vec{k}) = \int d^d x e^{-i\vec{k}\cdot\vec{x}} \Delta(\vec{x}) = \frac{1}{\alpha^2 \vec{k}^2 + \mu^2}$$

Stejně jako v přímém prostoru můžeme na prostoru
vlnový vektorů zformulovat Feynmanova pravidla,

Ta která se liší od přímého prostoru jen:

- Externí vlnový vektor charakterizovaný hybnostmi $\vec{k}_1, \vec{k}_2, \dots, \vec{k}_m$.
- Každý diagram obsahuje zářez zachování hybnosti $\delta(\vec{k}_1 + \vec{k}_2 + \dots + \vec{k}_m)$.
- Každé lince přiřadíme hybnost \vec{k}_i a propagátor $[\vec{k}_i^2 + \mu^2]^{-1}$.
- Integrované přes všechny vnitřní linie; každá integrace obsahuje faktor $(2\pi)^{-d}$.

Helmholtzova vlnová energie $F[J]$ je součtem všech ^{rozvoj dle} členů diagramů, přičemž m -tý člen je právě m -tým členem funkce $G^{(m)}(\vec{x}_1, \dots, \vec{x}_m)$. Vzhledem
ke Helmholtzově vlnové energii je Gibbsova vlnová energie $\Gamma(\varphi)$, která je Legendrovou transformací $F[J]$.

V reprezentaci vlnové funkce máme

$$(I.28) \quad \Gamma[\tilde{\varphi}] = \int \frac{d^d k}{(2\pi)^d} \tilde{J}(-k) \tilde{\varphi}(k) = \ln Z[\tilde{J}]$$

Funkci $\Gamma[\tilde{\varphi}]$ můžeme opět rozvinout do mocnin

pole $\tilde{\varphi}$. Jednotlivé momenty této rozvoje reprezentují

tr. n-bodové funkce. Definujeme pro $T > T_c$

$$(I.29a) \quad \Gamma^{(n)}(\tilde{k}_1, \dots, \tilde{k}_n) = (2\pi)^{dn} \frac{\delta}{\delta \tilde{\varphi}(-\tilde{k}_1)} \dots \frac{\delta}{\delta \tilde{\varphi}(-\tilde{k}_n)} \Gamma[\tilde{\varphi}] \Big|_{\tilde{\varphi}=0}$$

a pro $T < T_c$

$$(I.29b) \quad \Gamma^{(n)}(\tilde{k}_1, \dots, \tilde{k}_n) = (2\pi)^{dn} \frac{\delta}{\delta \tilde{\varphi}(-\tilde{k}_1)} \dots \frac{\delta}{\delta \tilde{\varphi}(-\tilde{k}_n)} \Gamma[\tilde{\varphi}] \Big|_{\tilde{\varphi}=\varphi_0}$$

pro n -bodovou n-bodovou funkcí. Pro $T < T_c$, φ_0 je

parametr uspokojovací. Svadno zjistiťme z definice

(I.28), že

$$\frac{\delta \Gamma[\tilde{\varphi}]}{\delta \tilde{J}(\tilde{k})} = \left(\frac{\tilde{\varphi}(\tilde{k})}{(2\pi)^d} - \frac{1}{Z[0]} \frac{\delta Z[\tilde{J}]}{\delta \tilde{J}(\tilde{k})} \right) \Big|_{\tilde{J}=0} = 0$$

$$(I.30) \quad \Rightarrow \quad \tilde{\varphi}_0(\tilde{k}) = \langle \tilde{\phi}(\tilde{k}) \rangle$$

Tj' φ_0 je střední hodnota fluktuací pole ϕ .

Druhá derivace potom má vzhledem

$$(2\pi)^{2d} \frac{\delta^2 \Gamma(\tilde{\varphi})}{\delta \tilde{\varphi}(\vec{k}_2) \delta \tilde{\varphi}(\vec{k}_1)} = (2\pi)^d \frac{\delta}{\delta \tilde{\varphi}(\vec{k}_2)} J(\vec{k}_1)$$

Dále použijeme identitu:

$$\begin{aligned} \delta(\vec{k}_1 + \vec{k}_2) &= \frac{\delta \tilde{\varphi}(\vec{k}_1)}{\delta \tilde{\varphi}(\vec{k}_2)} = (2\pi)^d \frac{\delta}{\delta \tilde{\varphi}(\vec{k}_2)} \frac{\delta}{\delta \tilde{J}(\vec{k}_1)} \ln Z(\tilde{J}) = \\ &= (2\pi)^{2d} \int d^d \vec{k}' \frac{\delta \tilde{J}(\vec{k}')}{\delta \tilde{\varphi}(\vec{k}_2)} \frac{\delta^2 \ln Z(\tilde{J})}{\delta \tilde{J}(\vec{k}') \delta \tilde{J}(\vec{k}_1)} = \\ &= \int d^d \vec{k}' \frac{\delta \tilde{J}(\vec{k}')}{\delta \tilde{\varphi}(\vec{k}_2)} \delta(\vec{k}' - \vec{k}_1) G_c^{(2)}(\vec{k}') = \\ &= \frac{\delta \tilde{J}(\vec{k}_1)}{\delta \tilde{\varphi}(\vec{k}_2)} G_c^{(2)}(\vec{k}_1) \end{aligned}$$

Od tud dostaneme pro dvoubodovou vlnovou funkci

$$(4.31) \quad \Gamma^{(2)}(\vec{k}_1, \vec{k}_2) = \frac{\delta(\vec{k}_1 + \vec{k}_2)}{G_c^{(2)}(\vec{k}_1)}$$

Redukovaná vlnová funkce je

$$\Gamma_c^2(\vec{k}) = \alpha^2 \vec{k}^2 + \mu^2 - \Sigma(\vec{k})$$

kde $\Sigma(\vec{k})$ je vlastně energetická část, suma všech 1P:

ireducibilních diagramů. Věnujme si, že

druhá strana se zapisat:

$$\tilde{f}^{(n)}(\tilde{t}) = \tilde{G}_c^{(2)-1}(\tilde{t}) \cdot \tilde{G}_c^{(2)}(\tilde{t}) \cdot \tilde{G}_c^{(n)-1}(\tilde{t})$$

což znamená, že $\tilde{f}^{(n)}(\tilde{t})$ je "amputovaná" druhá strana

Greenovy funkce. Analogicky můžeme odvodit výslovné

rovnice funkce $\tilde{f}^{(n)}(\tilde{t}_1, \dots, \tilde{t}_n)$, které jsou vždy

sestavou všech δ PI příspěvků. Výslovné rovnice odvodíme

pomocí následující definice

$$\tilde{f}^{(n)}(\tilde{t}_1, \tilde{t}_2, \dots, \tilde{t}_n; J) = (2a)^{nd} \frac{\delta}{\delta \tilde{\Phi}(\tilde{t}_n)} \dots \frac{\delta}{\delta \tilde{\Phi}(\tilde{t}_1)} J(\tilde{t})$$

a identitu:

$$(1.32) \quad \frac{\delta}{\delta \tilde{\Phi}(\tilde{t})} = \int \frac{d^d k'}{(2a)^d} \tilde{G}_J^{(2)-1}(\tilde{t}, \tilde{t}') \frac{\delta}{\delta \tilde{J}(\tilde{t}')}$$

Derivace $G_c^{(2)}(\tilde{t}, \tilde{t}'; J)$ podle zdroje J generují výslovné Greenovy funkce.

Pomocí této teorie se rozvíjejí fyzika, $T > T_c$,

je přirozenou rozvojem kolem gaussovského modelu.

Pro $T < T_c$ a $\varphi_0 \neq 0$ lze pomocnou teorii přestav-

přít tak, že rozocíjíme podle počtu uvažovaných smyčků

Feynmanových diagramů. Tento rozvoj získáme formálně

malé zavedením parametru b , pomocí kterého

reprezentujeme partiální sumu

$$(I.33) \quad Z(b) = \int \mathcal{D}\phi \exp\left\{-\frac{1}{b} F(\phi)\right\}$$

Fyzikální případ je $b=1$. Rozvoj do počtu uvažovaných

smyčků získáme rozvojem o malém parametru b .

Limita $b \rightarrow 0$ v integrálu (I.33), kde $F(\phi) \geq 0$,

způsobí, že hlavním příspěvkem do integrálu je

stacionární bod, ϕ_0 .

$$(I.34a) \quad \frac{\delta}{\delta\phi} F(\phi) = 0$$

při podmínce stability

$$(I.34b) \quad \left. \frac{\delta^2}{\delta\phi^2} F(\phi) \right|_{\phi=\phi_0} > 0$$

kde ϕ_0 je řešení (I.34a).

V ďalšom kroku uvažujeme, že každý diagram s L

uvažujeme smyčkami (L nezávislý integráciou přes vnitřní prostory) přispívá do fyzikálních veličin (množiny funkcí) řádu b^{L-1}

Je-li I počet vnitřních linií, V je počet vnitřních vrcholů a L je počet uvažovaných smyček, potom platí

$$(II.35) \quad I - V = L - 1,$$

Každá vnitřní linie obsahuje faktor b , neboť v každém místě nastupuje interní propagátor, každý vrchol přispívá faktorem b^{-1} . Potom diagram s I liniemi, V vrcholy a L uvažovanými smyčkami dle (II.35) přispívá

$$D_{I,V} \sim b^{I-V} = b^{L-1}$$

Stromové diagramy ^(L=0) (sedlový bod) přispívá se sedlovými řádky b^{-1} . Rozvoj do uvažovaných smyček je podobným rozvojem kolem sedlového bodu v parametru b .

III. Teorie stádního pole pro kritické jevy

§ III.1 Weissova řešení Isingova modelu

Kritické jevy v statistických systémech vedou na významný druh a singularitu v dvojbodové Greenově funkci, propagátoru. To tedy znamená, že v kritické oblasti, tj. v blízkosti kritického bodu, pomocí teorie selhává a nedostupná je. V kritické oblasti tedy budeme hledat přesné řešení, nebo alespoň se můžeme podívat na přibližné řešení, které alespoň kvalitativně správně popisuje kritické chování kolem kritického bodu, jelikož exaktní řešení je nedostupné pro realistické modely a situace, protože nám zůstává pouze druhá možnost, tj. konstruovat neprecizní přibližné řešení. Nejjednodušším takovým řešením statistických modelů je tzv. teorie stádního pole. Znovu takovou teorii pro spinový magnetismus

(Isingov model) navrhl P. E. Weiss. Tato teorie
 rozšířena L. D. Landauem byla podlouha doba jedinou
 teorií fázových přechodů. Dodnes tato teorie slouží jako
 první krok v systematickém popisu klasických kri-
 tických jevů a fázových přechodů.

Existuje několik způsobů odvození Weissova řešení
 (středního pole) pro Isingov model. V tomto paragrafu
 použijeme limitu nekonečnědobré interakce, kde předpo-
 kládáme, že teorie středního pole se stane přesnou.

Isingov hamiltonián zapíšeme v katedrském tvaru:

$$H = -\frac{J}{2N} \sum_{\langle ij \rangle} S_i S_j - B \sum_i S_i$$

a partition sum

$$Z = \sum_{\{S_i\}} \exp \left\{ \frac{\beta J}{2N} \left(\sum_i S_i \right)^2 - \frac{\beta B}{2} + \beta B \sum_i S_i \right\}$$

Kvadrat celého spinu linearizujeme pomocí
 vztahu

$$e^{a^2} = \frac{1}{\sqrt{2\pi}} \int_{-\infty}^{\infty} dy \exp \left\{ -\frac{1}{2} y^2 + \sqrt{2} a y \right\}$$

T_{2n}.

(III.1)

$$\begin{aligned}
 Z &= \frac{e^{-\beta E/2}}{\sqrt{2\pi}} \int_{-\infty}^{\infty} dy e^{-\frac{y^2}{2}} \sum_{\{s_i\}} \exp\left\{y \left(\frac{\beta \epsilon}{N}\right)^{1/2} + \beta B\right\} \prod_i s_i \\
 &= e^{-\frac{\beta \epsilon}{2}} \sqrt{\frac{\beta N \epsilon}{2\pi}} \int_{-\infty}^{\infty} d\lambda \exp\left\{N \left[\frac{\epsilon}{2} \lambda^2 + \ln 2 \cosh[\beta(B + \lambda \epsilon)]\right]\right\} \\
 &\quad + O(N^{-1})
 \end{aligned}$$

Čdež je sme použili substitúciu $\lambda = \frac{y}{\sqrt{\beta N \epsilon}}$.

V termodynamickom limite $N \rightarrow \infty$ je dominantná jediná

príspevok do partičnej sumy hodnota integrandu v sedlovom

bode λ . Hodnota energie v sedlovom bode je

(III.2)

$$F(\lambda) = \frac{\epsilon}{2} \lambda^2 - \beta^{-1} \ln 2 \cosh[\beta(B + \lambda \epsilon)]$$

Toto je hodnota energie Weissom riešenú, metódy stredného pole,

Isingom modelu. Parameter λ je magnetizácia modelu

a splňuje rovnici stredného pole:

(III.3)

$$\lambda = \tanh[\beta(B + \lambda \epsilon)]$$

Tato rovnice vedie na vznik spontánnej magnetizácie

a tedy fotonové přechody z páru do fero magnetického stavu jestliže ($\beta \rightarrow 0$)

(III.4)

$$J \leq \beta E$$

Kritické chování v přibližné teorii středního pole budeme analyzovat později v rámci Landauovy teorie středního pole, zde jen připomeneme, že Weissrovo střední pole odpovídá v rozvoji do uzavřených smyček multému přiblížení, tj. sumě všech stromových diagramů.

§II.2

Hartreeho-Fockovo variační střední pole

Kromě toho, že střední pole je prosté a nejjednodušším přiblížením pro popis kritického jevu, má střední pole ještě jednu význačnou vlastnost. Volná energie středního pole je klasickým formou mezí pro volnou energii (Isingova) modelu. Variačním odvozením teorie středního

a tedy fotonové přechody z páru do fero magnetického
stavu jestliže ($B=0$)

(III.4)

$$J \leq \beta E$$

Kritické stavy v přibližné teorii středního pole

budeme analyzovat později v rámci Landauovy teorie

středního pole, zde jen připomeneme, že Weissova

střední pole odpovídá v rozvoji do uzavřených smy-
ček multému přiblížení, tj. sumě všech stromových

diagramů.

§II.2

Hartreeho-Fockovo variační střední pole

Kromě toho, že střední pole je prosté a nejjednodušším

přiblížením pro popis kritických jevů, má střední pole

iště jednu význačnou vlastnost. Volná energie středního

pole je exaktní horní mez pro volnou energii

(Hugenhoutse) modelu. Variační odvození teorie středního

je obecná a není specifická pro Isingův model.

Ve variačním odvození teorie skalárních polí, které je totožné s Hartreeho-Fockovou aproximací v mnohočásticových modelech, předpokládáme, že celý hamiltonián lze rozpsat na tvaru

$$H = H_0 + H_I$$

přičemž termodynamika generovaná "neporušenou"

hamiltoniánem H_0 je explicitně známa. Značíme

$$\langle X \rangle_0 = \frac{1}{\text{Tr} e^{-\beta H_0}} \text{Tr} \{ e^{-\beta H_0} X \}$$

2 kontextu: exponenciál plyne

$$\begin{aligned} \langle \exp\{-\beta(H_0 + H_I)\} \exp\{\beta H_0\} \rangle_0 &\gg \\ &\geq \exp\{-\beta \langle H_I \rangle\} \end{aligned}$$

Logaritmováním této nerovnosti dostaneme

$$\ln \langle \exp\{-\beta(H_0 + H_I)\} \exp\{\beta H_0\} \rangle_0 \geq -\beta \langle H_I \rangle$$

Po snadnej úprave a 2 definice volno energie dostaneme

$$(II.5) \quad F \leq F_0 + \langle H_I \rangle_0$$

Tato Gibbsova-Bogolyubova nerovnost ještě není

formou stědného pole. Ta se získá tím, že pomocí parametrizace pravé strany a minimalizací nerovnosti

(II.5) dostaneme nejlepší horní mez na volnou energii

v rámci určitého souboru parametrů, které definují makro-

spinový stav systému. Weissova řešení získáme

z minimalizace pravé strany (II.5) s následující volbou

$$I. \quad H_0 = +\frac{\epsilon}{2} N m^2 - B N m - \epsilon \sum_i \sigma_i - B \sum_i \sigma_i$$

(III.6)

$$H_I = -\epsilon \sum_{\langle ij \rangle} \sigma_i \sigma_j$$

kde $0 \leq m \leq 1$ je variabilní parametr a magnetický $\hat{\sigma}_i$

má hodnotu ± 1 . Vzhled (III.6) patří v (II.5)

a minimalizovanou vzhledem k možné volbě parametrů

u vede na Weissova řešení.

Rozklad na neporušený Hamiltonián H_0 a poruchu H_I
 a zanedbanie termodynamických fluktuácií generovaných
 H_I je Hartree-Fockom aproximace. Zde je uvažováno
 vlnu středního pole, tj. aktivní spin interaguje
 pouze s termodynamicky vzájemně uspořádanými u.

§ 3.3 Limita nekonečně rozměrné mřížky

Moderní pojetí teorie středního pole charakterizuje
 tato aproximace jako asymptotickou limitu statistického
 modelu s nekonečným počtem nejbližších sousedů. V tomto
 přístupu teorie středního pole odpovídá modelu s nekonečným
 rozměrovým interakcím, Interakce je tice krátkodosahová,
 pouze nejbližší soused, ale počet nejbližších sousedů roste
 nade vše nese. Tato definice teorie středního pole
 je nejobecnější a zahrnuje i zohlednění na křivkové
 modely, kde se předpokládá, že tato definice není identická

Rozklad na neporušujú Hamiltonián H_0 a poruchu H_I a zanedbaním termodynamických fluktuácií generovaných H_I je Hartree-Fockova aproximácia. Zde je už zohľadnen stredný stav, t.j. aktívny spin interaguje pouze s termodynamicky vzostudovaným u.

§ 3.3 Limita nekonečne rozmernej mriežky

Moderná pojetí teorie stredných pole charakterizuje túto aproximáciu jako asymptotickou limitu štatistického modelu s nekonečným prietom najbližších susedov. V tomto prístupe teorie stredných pole zodpovedá modelu s nekonečným intervalom, Interval je t.j. krátkodobý, pouze najbližších susedov, ale počet najbližších susedov rastie nade vše mazu. Táto definícia teorie stredných pole je neobjektívna a zahrnuje o sebe i zohľadnenie na konkrétnych modeloch, kde se používajú, že táto definícia nemá identického

1. aproximácia Hartreeho-Focka,

Algoritm mohli preniesť limitu nekonečne rozmernej mriežky, je nutné pristáť na nekonečnej veľkosti hamiltoniánu. Toto pristávanie je potrebné z dôvodu, ak energia systému rastie lineárne objemom, t.j. hľadáme pre nekonečnú mriežku. Toto pristávanie nekonečnej veľkosti mriežky nie je univerzálne, nýbrž závisí na zariadení, takže nekonečnej veľkosti ^{priestoru} do totálnej energie. Príkladom toho je konštrukcia modelu v limite nekonečne rozmernej mriežky je analýza nekonečného priestoru totálnej energie. V prípade Isingovho modelu máme:

$$(II.7) \quad U \propto - \epsilon \sum_{i,j} m_i m_j - \epsilon^2 \sum_i m_i \chi_i$$

kde ϵ je počet najbližších susedov, m je stredná magnetizácia a χ_i je priemerná susceptibilita na najbližšom susede. V ferromagnetickom prípade, $m > 0$, prispôbiť prístup na prave

straně. Abychom zabránili divergenci energie $\propto n \rightarrow \infty$,
musíme přeložit spinorový vlnový $\epsilon \rightarrow \epsilon^* / \sqrt{n}$,
kde ϵ^* je fixováno v limitním procesu $n \rightarrow \infty$. Všechny
typy modelů (itinerantní fermionové modely) přitom
leží z pravé strany (19.7) je identifikací malých, a proto
materiálních stavů v limitě $n \rightarrow \infty$ vede na
 $\epsilon \rightarrow \epsilon / \sqrt{n}$. Takové stavové mapy by mohly
ve vysokoteplotní fázi. Ale nyní dále dostaneme aspoň
dáv, že zapnutí magnetického pole je vždy nekonečně
malé energie, což je evidentně nepravdivé. Proto
jednoduchým postupem stavů v Isingově modelu je $\epsilon \rightarrow \epsilon^* / \sqrt{n}$.
V tomto stavovém potom analyzovat diagramy přispívá-
jící do fyzikálních veličin (radiálních funkcí) snadno
zjistíme, že stromové diagramy přispívají faktorem $O(1)$,
kdežto uzavřené smyčky faktorem $O(n^{-1})$ a mistkami.
Suma všech stromových diagramů vede na Weissovo řešení,

neboť po transformácii $S_i \rightarrow \sigma_i + u_i$ dostaneme, že

$\langle \sigma_i \sigma_j \rangle \propto O(R^{-1})$ pre $i \neq j$. Tudiž Hartreeho aproximácia

dáva dominantný príspevok do vlnovej funkcie, $\langle H_I \rangle_0 = 0$.

Limita $d \rightarrow \infty$ ($n \rightarrow \infty$) je identická s Hartreeho approxi-

maciou pozreť sa, pokiaľ neobmedzuje ϵ^*/R .

Nekritická teória stredného pole označujeme, keďže

masová hustota nultého štátu je ϵ^*/R . To nastane

napr. v modeli spinových skiel ($\langle J_{ij} \rangle = 0$) alebo v Hubbardovom modeli.

§ II.4 Landauova teória stredného pole a kritické chovanie v pútkovom strednom pole

Teória stredného pole odovzdaná v predchádzajúcom paragrafe je istou globálnou teóriou, ktorou sa používajú termodynamické

veličiny chovajúce sa štatistickým modelom s celým rozsahom parametrov.

Nasledujúce s touto oblasťou súvisiace problémy budú celkom

neboť po transformácii $S_i \rightarrow \sigma_i + m$ dostaneme, že

$\langle \sigma_i \sigma_j \rangle \propto O(1/z')$ pre $i \neq j$. Tudi je Hartreeho aproximácia

dávaj dominantnú príspevek do vlnovej energie, $\langle H_E \rangle_0 = 0$.

Limita $d \rightarrow \infty$ ($z \rightarrow \infty$) je identická s Hartreeho approxi-

maciou pretože, podľa veľkosti členov $\propto 1/z$.

Nebíviať teorie stredného pole vznikajú, keďže

medzi sebou majú šálont $\propto 1/z$. To nastane

napr. v modeli spinových skiel ($\langle J_{ij} \rangle = 0$) alebo v kub-

andovom modeli.

§ II.4 Landauova teorie stredného pole a kritické javy

v strednom strednom pole

Teorie stredného pole odvodené v predchádzajúcom paragrafe

je globálna teória, ktorou sa používajú termodynamické

členy a statistické modely a všetky rovnice parametru.

Nasledujúce to auto znamená významnú úlohu celého

obraz o statistickém modelu, můžeme popsat kvalitativně
 správně kritické chování modelu a singularit s ním spojené.
 Jádrem videli na příkladu Isingova modelu v $d=2$, o kri-
 tickém bodě diverguje magnetická susceptibilita, netri korre-
 lační funkce. Z definice korrelační funkce potom plyne, že
 dvojnásobná korrelační funkce prochází nulou, tj. efektivní
 hustota kritického excitace μ^2 rovine o bodě přechodu.
 Pokud chceme získat obraz o chování modelu pouze v blízkosti
 fázového přechodu, nemusíme uvažovat termodynamické pole
 se všemi kvantitativními detaily. Kritické chování a kri-
 tické exponenty stejně tak dobře uvažujeme z Landauovy teorie
středního pole. V této teorii uvažujeme pouze rozvoj
 Gibbsovy volné energie $F[\varphi]$ do nejvyššího možného pa-
 rametru uspořádání. Prvním bodem Landauovy teorie
 středního pole je znalost parametru uspořádání, kterého
 máme při padě je pole φ . Volná energie závisí pouze

ma sudých maximálnych parametrov usporiadaných, nebýt

$\delta F(\varphi)/\delta\varphi = 0$. Akým spôsobom môžeme získať rovnici

pre parametre usporiadaných, musíme rozvinúť $\Gamma[\varphi]$

do druhého najnižšieho mocniny φ , t.j. musíme zobrať

konstatívny a kinetický príspevok do celkovej energie. Γ'

celková energia v Landauovej teórii má tvar:

(III.8)

$$\Gamma[\varphi] \approx \Gamma_0 + \Gamma_2 \varphi^2 + \Gamma_4 \varphi^4$$

kde $\Gamma_0, \Gamma_2, \Gamma_4$ jsou parametry, které můžeme spočítat z mikroskopické teorie nebo z fenomenologického úvah. Z předchozích

úvah, že Γ_2 a Γ_4 jsou hodnoty mikroskopické funkce, kde

všechny hustoty jsou rovny nule, pokud je jedná o symetrické

usporiádání

usporiádání

Landauova teorie středního pole má přímocí odvozen

v LGW formulaci, V tomto přístupu je Landauova teorie

středního pole je přibližování sedlového bodu, tj. stan-

daunová teorie zanedbává všechny fluktuace parametru uspo-

redukcijom. Π . partikularni formi standardne aproksimacije
možemo zapisati

$$(II.9) \quad Z_{LG} = \int d\phi \exp\left[-\int d^d x \mathcal{H}_{LG}[\phi]\right] \approx A \exp\left[-\int d^d x \mathcal{H}_{LG}[\phi_0]\right]$$

gde A je nepodstignuta konstanta a ϕ_0 redukovani parametar
usporabljen. Jeli to isti efektivan hamiltonijan, ali interakcije verovatno
na snizavanju, $\vec{\nabla} \phi_0 = 0$. Može se tako pisati

$$\int d^d x \mathcal{H}_{LG}[\phi_0] = V \left(\frac{1}{2} \mu^2 \phi_0^2 + \frac{\lambda}{4!} \phi_0^4 - H \phi_0 \right)$$

gde V je obim prostora. Za stacionarnu vrednost energije
dostignute u ovoj formi po parametru usporabljenom:

$$(II.10) \quad \mu^2 \phi_0 + \frac{\lambda}{3!} \phi_0^3 - H = 0$$

U blizini kritične tačke odredimo $\mu^2 = \frac{1}{\beta \epsilon} (2 - BE)$. Pro
pripad $H=0$ dostignute:

$$(II.11) \quad \phi_0^2 = \begin{cases} 0 & \text{pro } \beta J < 1 \\ -\frac{6\mu^2}{\lambda} & \text{pro } \beta J > 1 \end{cases}$$

U teploti razvijenosti dostignute

$$\phi_0 = \sqrt{\frac{6k_B}{\lambda \epsilon} (T_c - T)}, \quad T_c = \frac{\epsilon}{k_B}$$

Volna energije v blizini kritične točke je:

$$(u.13) \quad \beta f = f_0 - \theta(T_c - T) \frac{3\mu^4}{2\lambda} = f_0 - \theta(T_c - T) \frac{3k_B^2}{2\lambda^2} (T_c - T)^2$$

2 volna energije odvisne od vrtilne energije:

$$(u.14) \quad \mathcal{H} = -\theta(T_c - T) \left[\frac{3\mu^2}{\lambda} \frac{d\mu^2}{d\beta} = \frac{3\mu^4}{2\lambda^2} \frac{d\lambda}{d\beta} \right]$$

Primeri tega je v kritičnem točki

$$(u.15) \quad k_B \chi = -\beta^2 \frac{d\mathcal{H}}{d\beta} \Big|_{\mu^2=0} = \begin{cases} 0 & T = T_c \\ \frac{3\beta^2}{\lambda} \left(\frac{d\mu^2}{d\beta} \right)^2 = \frac{3}{\lambda} & T = T_c - \end{cases}$$

Diferenciramo rovnico (u.10) podle vrtilne energie H

dostaneme susceptibilitu $\chi = d\phi/dH$:

$$\left(\mu^2 + \frac{1}{2} \phi_0^2 \right) \chi = 1$$

$$(u.16) \quad T_j. \quad \chi_{H=0} = \begin{cases} \frac{1}{\mu^2} = \frac{1}{k_B} \frac{1}{T - T_c} & T > T_c \\ -\frac{1}{2\mu^2} = \frac{1}{2k_B} \frac{1}{T_c - T} & T < T_c \end{cases}$$

Poslednim kritičnim členom je odvislost parametrov

usporadamo na vrtilno pri v kritičnem točki. Z (u.10)

pro $\mu^2 \rightarrow 0$ dostanemo:

$$(u.17) \quad \phi_0 \approx \left(\frac{\theta}{\lambda} H \right)^{1/3}$$

2. výše uvedených a z toho získané následujících kritických expo-
nenty:

Parametr uspořádání : $\beta = \frac{1}{2}$, $\phi \propto T^{\beta}$

Korelační délka : $\nu = \frac{1}{2}$, $\chi \sim \xi^2 \sim T^{-1}$

Korelační funkce : $\gamma = \frac{1}{2}$, $\chi \sim T^{-\gamma}$

měrné teplo : $\alpha = 0$, $C_v \sim T^{-\alpha}$

magnetické pole : $\delta = 3$, $H \sim M^{\delta}$

Tímto systém kritických exponentů je své úplně gárpali-

kritické dimenze, tj. neodpovídá, není střední pole.

Očekáváme existenci ještě jeden kritický exponent, anomální
dimenze, která charakterizuje závislost korelační funkce

$G^{(2)}(k) \sim k^{-2}$. Jelikož střední pole, magnetizace, ϕ .

normová na souřadnici, hustota, potom anomální

dimenze je nula v teorii středního pole. Snadno se

přesvědčíme, že globální (úplná) teorie středního pole

nemá kritických exponentů Landauovy teorie.

IV. Škalovacova hypotéza a teorie neuronálních

§IV.1 Škalovacova hypotéza a spojitá linie

Kritické body položio singularit v korelacích funkcí komplikují popis kritického chování a tvorby přechodu. Na druhé straně existuje divergencí podle na zjednodušeném chování, neboť fyzikální veličiny v blízkosti kritického bodu závisí pouze na dlouhodobých fluktuacích a rozích na "mikroskopické" struktuře materiálu. Zjednodušená závislost fyzikálních veličin na reálných parametrech v kritické oblasti sedá na menší počet relevantních parametrů charakterizujících kritické chování. Souřezí počet relevantních parametrů má za následek tzv. Škalovací chování fyzikálních veličin. Takové chování bylo nejprve pozorováno experimentálně, pak bylo formulováno jako hypotéza a posléze odvozeno z prvních principů mikroskopických modelů. My budeme akceptovat Škalovacovo chování bez

diagram.

Widomova Šalovna hypotéza říká, že hustota volné energie a blízkosti kritického bodu $T \rightarrow T_c$ se chová

$$(IV.1) \quad f(T, B) = \theta^{1/y} \varphi\left(\frac{B}{\theta^{x/y}}\right)$$

kde $\theta = (T - T_c)/T_c$, x, y jsou 'kritické' exponenty.

Kadanoffova Šalovna hypotéza zase říká, že dvojnásobným zmenšením funkce a blízkosti kritického bodu máme:

$$(IV.2) \quad G_c^{(n)}(r, \theta) = \frac{\psi(r\theta^{2-\alpha})}{r^{d-2+\eta}}$$

kde opět α, η jsou kritické exponenty, funkce ψ a φ jsou vhodné funkce závislé na modelu.

Tyto dvě Šalovna hypotézy omezují množství kritických exponentů. Pomocí (IV.1) a (IV.2) vhodné vzájemně nezávislé exponenty. Nejdříve máme zvolit parametry uspořádané:

$$u|_{B=0} = - \left(\frac{\partial f}{\partial B} \right)_T = - \left(\frac{t^{1/y}}{t^{x/y}} \right) \varphi'(0)$$

Odtud získáme hodnotu exponentu β :

$$(IV.3) \quad \beta = \frac{1-x}{y}$$

Podobně susceptibilita je

$$\chi|_{B=0} = - \left(\frac{\partial^2 f}{\partial B^2} \right)_T = \theta^{(1-2x)/y} \varphi''(0)$$

tzv.

$$(IV.4) \quad \gamma = \frac{2x-1}{y}$$

Dále můžeme ještě určit měrné teplo:

$$\begin{aligned} C_B &= -T \left(\frac{\partial^2 f}{\partial T^2} \right)_B = -\frac{1}{T_c} \frac{\partial^2}{\partial \theta^2} \left[\theta^{1/y} \varphi \left(\frac{B}{\theta^{x/y}} \right) \right] \\ &= -\frac{\varphi(0)}{T_c} \frac{1}{y} \left(\frac{1}{y} - 1 \right) \theta^{(1/y)-2} \end{aligned}$$

Odtud

$$(IV.5) \quad \alpha = 2 - \frac{1}{y}$$

Parametr δ získáme ze závislosti magnetizace na B o $T=T_c$:

$$\begin{aligned} m|_{T=T_c} &= - \left(\frac{\partial f}{\partial B} \right)_T = \frac{\partial}{\partial B} \left[B^{1/x} \tilde{\varphi} \left(B / \theta^{x/y} \right) \right], \quad \tilde{\varphi}(z) \equiv z^{-x} \varphi(z) \\ &= \frac{\tilde{\varphi}(\infty)}{x} B^{(1/x)-1} \end{aligned}$$

$$(IV.6) \quad \delta = \frac{x}{1-x}$$

Kombinací rovnic (IV.3) - (IV.6) dostaneme

Rushbrooke a Griffithsův vztaž

(IV.7)

$$\alpha + 2\beta + \gamma = 2$$

(IV.8)

$$\alpha + \beta(\delta + 1) = 2$$

2 Kadansoffova Skalárního rovnice následně dává

vztah mezi kritickými exponenty, 'Platz':

$$r^d f^{2-\alpha} \sim r^d \xi^{-d} \sim r^d f^{d+\nu d}$$

(IV.9)

$$2 - \alpha = \nu d$$

Dále

$$\chi = \int G_c^{(2)}(r) d^d r \propto \xi^{-(2-\gamma)} \int d^d r \frac{\psi(r/\xi)}{r^{d-2+\gamma}} \propto \theta^{-\gamma}$$

tedy

(IV.10)

$$\gamma = \nu(2-\gamma)$$

Rovnice (IV.9) a (IV.10) jsou Josephsonův a Fisherův vztah.

Kadansoffův Skalární zákon je pravdivý i v kritické oblasti, která vlnová rovnice $\nabla^2 \psi = 0$ vystupuje v kritické

oblasti pouze ve formě $\chi = r/\xi$. Tedy v kritické oblasti

jednotku dĺžky teda nemá meriatomovú rozdelenosť, ale korelačnú dĺžku ξ . Všetky divergence v teórii /sú potom obsiahnuté v závislosti na korelačnej dĺžke ξ . Existuje teda jediný parameter $\xi = m^{-1}$, pomocou ktorého môžeme faktoriizovať všetky divergence spojené s kritickým bodom. Táto teória sa nazýva jednospametrovým kritickým stavom.

§IV.2 Renormalizace parametrů LGW modelu

Akému teorie středního pole bylo popsáno reprodukce kritického stavu a formou předchozí statistických modelů. Politování k tomuto přístupu je reformulace PT tak, aby bylo rozložení pouze regulární veličiny, pro které postupně řada konverguje. Problémem teorie středního pole však je, že tato aproximace reprodukuje všechny divergence modelu, a tudíž rozvoj (do určení až nyní) za teorii středního pole je stále singulární. Proto je potřeba provést další reorganizaci

jednotern délky tedy není moriatomová vzdálenost, ale korelační délka ξ . Všechny divergence v teorii jsou potom obsaženy v závislosti na korelační délce ξ . Existuje tedy jediný parametr $\xi = m^{-1}$, pomocí kterého můžeme faktoriálně rozložit všechny divergence spojené s kritickým bodem. Tato teorie se nazývá jednuparametrický kritický stav.

§IV.2

Renormalizace parametrů LGW modelu

Ale v teorii středních pole bylo popsáno nepoužitelné kritické chování a formou přechodu statistických modelů. Půlino je to nutné přístupu je reformulace PT tak, aby chování rozložili pouze regulární veličiny, pro které postupně řada konverguje. Problémem teorie středních pole však je, že tato aproximace nepostihuje všechny divergence modelu, a tudíž rozloží (do uražených singulár) za teorii středních pole je stále singularitní. Proto je potřeba provést další reorganizaci

porovnať vo vzore, ale potom opäť dostali divergentnú časť pod kontrolu. Táto reorganizácia PT je obsiahnutá v renormalizácii parametrických LGW modelov, tj. nahradení hľadajúcich parametrických renormalizovanými.

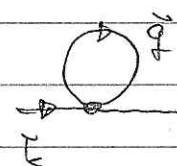
V spojitom limite LGW modelu sa o PT za Landauovu teóriu stávajú pole vzhľadom na dva typy divergencií:

ultrafialové spojenie s veľkou rýchlosťou a infračervené spojenie s malou rýchlosťou v kritickom bode $\mu^2 \rightarrow 0$.

Tieto divergencie závisia od rozmeru priestoru na protirakom dimenzi modelov.

Ultrafialové divergencie:

Typickým príkladom ultrafialovej divergencie je jednovrstvový loop prispievajúci do dvochbodovej modelovej funkcie:

$$\Gamma^{(2)}(\vec{k}) = \left(\frac{1}{k} \right)^{-1} + \text{diagram}$$


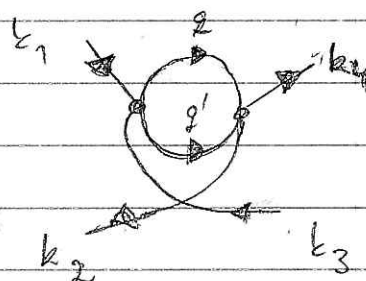
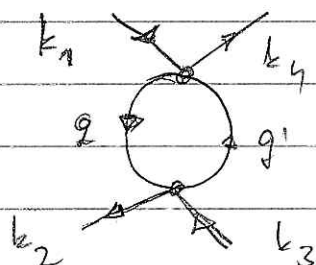
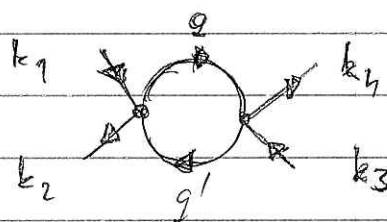
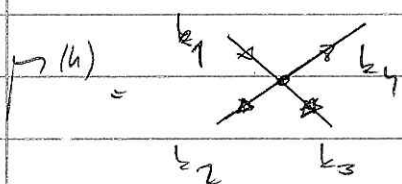
$$\Gamma^{(2)}(\vec{k}) = \mu^2 + \alpha^2 \vec{k}^2 + \frac{1}{2} \int_0^1 \frac{dx}{(2\pi)^d} \frac{1}{\alpha^2 q^2 + \mu^2} + O(\lambda^2)$$

Ze vzťahu (IV.11) snadno zjistíme, že v $d \geq 2$ integrál
 přes δ hustotu g diverguje pro $\Lambda \rightarrow \infty$. Tj. abyom
 se vyhnuli ultrafialovej divergenciam, musíme v PT pracovat
 s končným "cutoffem", který efektívne omezuje vysoké
 hustoty. Tj. LGW model je mřížový model pouze s ro-
 tační invariantno Brillouinova zónou a s Brillouinovou
 hustotou 1. Smysl spojitého LGW modelu tvoří v tom, že
 výsledkem teorie, relevantno fyzikálních veličin neodvislo na
 výběru omezení velkých hustot? Tato neodvislost nazý-
 váme universální chování, pále o tomto paragrafu
 ukážeme, že pro $d \leq 4$ se zbavíme závislosti na ultra-
 fialovém omezení zbavíme renormalizace parameter LGW
 modelu, tj. předem $\mu^2 \rightarrow m^2$, $\kappa^2 \rightarrow g^2$, $\lambda \rightarrow g$.

Infraróvová divergence :

Na rozdíl od ultrafialových divergencí, které vzniknou
 díky zanedbání krátkodobé struktury mřížky a jsou

tedy fizion, infračervená divergence jsou reálné a
 nelze se jich zbavit žádnou transformací a renormalizací
 PT. Typickým příkladem infračervené divergence je jedno-
 smýšlný příspěvek do čtyřtřídenního funkce $\Gamma^{(4)}$:



Tři jednosmyšlné diagramy odpovídají třem rozptýlením ka-
 nálium n-mezíchového teorie. Matematická reprezentace

těchto příspěvků je

$$(IV.12) \quad \Gamma_c^{(4)}(\vec{l}_1, \vec{l}_2, \vec{l}_3) = 1 \left\{ 1 - \frac{\lambda}{2} \int \frac{d^d q}{(2\pi)^d} \frac{1}{\alpha^2 q^2 + \mu^2} \left[\frac{1}{\alpha^2 (\vec{q} - \vec{l}_1 + \vec{l}_2)^2 + \mu^2} \right. \right. \\ \left. \left. + \frac{1}{\alpha^2 (\vec{q} + \vec{l}_3 - \vec{l}_2)^2 + \mu^2} + \frac{1}{\alpha^2 (\vec{l}_1 + \vec{l}_3 - \vec{q})^2 + \mu^2} \right] \right\}$$

V kritičnej teórii $\mu \rightarrow 0$, integrál (IV.12) diverguje

pre $\tilde{\epsilon}_1, \tilde{\epsilon}_2, \tilde{\epsilon}_3 \rightarrow 0$ v rozmeroch $d \leq 4$. Táto fyzikálna

divergencia nemá obdobu v teórii stredných polí, T24.

Teorie stredných polí nemôže popísať správné kritické

chovanie pre $d \leq 4$, h. pod hornou kritickou dimenziou.

Táto neúplnosť teorie stredných polí v popise kritického cho-

vedenia vedie na nutnosť renormalizácie parametrov LGK modelu,

h. na systematickú nahradu hľadísk parametrov reálnych fizi-

kálnymi konštantami. Renormalizácia parametrov modelu sčítá-

nú ultravioletných divergencií. Infraparové divergencie do-

stávajú pod kontrolu faktorizáciou divergentných príspevkov.

A) Renormalizácia žmota

Renormalizovaný žmota LGK modelu je definovaná 2 dvoch-

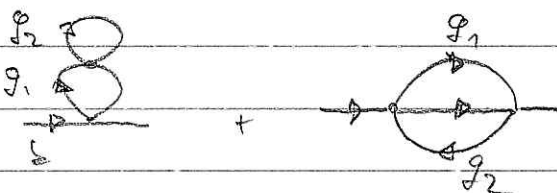
dobou prídavnou funkciou

(IV.13)

$$m^2 = \Gamma^{(2)}(0) = \mu^2 + O(1)$$

Cílem renormalizace teorie je nahradit ve výsledku všechny
 volné parametry μ^2 renormalizovanými hodnotami m^2 . Tato
 renormalizaci budeme provádět dle požadavků v teorii do
 uzavřených smyček, což je ekvivalentní rozpisu v interakčních
 konstantách. Explicitně provedeme renormalizaci teorie
 do dvou smyček.

V řádu $O(\lambda^2)$ máme

$$P^{(2)}(k) = \dots + \frac{g_1 g_2}{k^2} + \dots$$


což po započtení koleřů a jedno smyčkové přepřepnutí dáno

$$(V.14) \quad P^{(2)}(k) = \mu^2 + \alpha^2 k^2 + \frac{\lambda}{2} \int_0^1 \frac{d^d q}{(2\pi)^d} \frac{1}{\alpha^2 q^2 + \mu^2}$$

$$- \frac{\lambda^2}{4} \int_0^1 \frac{d^d q_1}{(2\pi)^d} \frac{d^d q_2}{(2\pi)^d} \frac{1}{(\alpha^2 q_1^2 + \mu^2)^2 (\alpha^2 q_2^2 + \mu^2)}$$

$$- \frac{\lambda^2}{6} \int_0^1 \frac{d^d q_1}{(2\pi)^d} \frac{d^d q_2}{(2\pi)^d} \frac{1}{(\alpha^2 q_1^2 + \mu^2) (\alpha^2 q_2^2 + \mu^2) [\alpha^2 (k - q_1 + q_2)^2 + \mu^2]}$$

$$= \mu^2 + \alpha^2 k^2 - \frac{\lambda^2}{6} \mathcal{A}(k)$$

kde jsme použili definici renormalizované smyčky, tj. vyladění

2 k-derivací/čtení. Přitom

$$(IV, 15) \quad \Delta A(k) = \int_0^1 \frac{d\tilde{q}_1 d\tilde{q}_2}{(2\tilde{u})^d} \frac{1}{\alpha^2 \tilde{q}_1^2 + \mu^2} \frac{1}{\alpha^2 \tilde{q}_2^2 + \mu^2} \left[\frac{1}{\alpha^2 (k - \tilde{q}_1 + \tilde{q}_2)^2 + \mu^2} - \frac{1}{\alpha^2 (\tilde{q}_1 - \tilde{q}_2)^2 + \mu^2} \right]$$

$$\Delta A(k) = \int_0^1 \frac{d\tilde{q}_1 d\tilde{q}_2}{(2\tilde{u})^{2d}} \frac{(-\alpha^2 k^2 + 2\alpha^2 \tilde{k}_1 \tilde{Q})}{(\alpha^2 \tilde{q}_1^2 + \mu^2)(\alpha^2 \tilde{q}_2^2 + \mu^2)(\alpha^2 \tilde{Q}^2 + \mu^2)[\alpha^2 (\tilde{k} - \tilde{Q})^2 + \mu^2]}$$

kde jsme označili $\tilde{Q} = \tilde{q}_1 - \tilde{q}_2$.

Vztah mezi hofm parametrem μ^2 a renormalizovanou smyčkou

m^2 v řádu $O(\lambda^2)$ tedy je

$$(IV, 16) \quad m^2 = \mu^2 + \frac{\lambda}{2} \int_0^1 \frac{d\tilde{q}}{(2\tilde{u})^d} \frac{1}{\alpha^2 \tilde{q}^2 + \mu^2} - \frac{\lambda^2}{4} \left[\int_0^1 \frac{d\tilde{q}}{(2\tilde{u})^d} \frac{1}{\alpha^2 \tilde{q}^2 + \mu^2} \right]^2 - \frac{\lambda^2}{6} \int_0^1 \frac{d\tilde{q}_1 d\tilde{q}_2}{(2\tilde{u})^{2d}} \frac{1}{(\alpha^2 \tilde{q}_1^2 + \mu^2)(\alpha^2 \tilde{q}_2^2 + \mu^2)[\alpha^2 (\tilde{q}_1 - \tilde{q}_2)^2 + \mu^2]}$$

Pozoruj na pravé straně máme invariant a rozvinut

po řádu λ^2 μ^2 závislosti na m^2 .

$$(IV, 17) \quad \mu^2 = m^2 - \frac{\lambda}{2} \int_0^1 \frac{d\tilde{q}}{(2\tilde{u})^d} \frac{1}{\alpha^2 \tilde{q}^2 + m^2} + \frac{\lambda^2}{6} \int_0^1 \frac{d\tilde{q}_1 d\tilde{q}_2}{(2\tilde{u})^{2d}} \frac{1}{(\alpha^2 \tilde{q}_1^2 + m^2)(\alpha^2 \tilde{q}_2^2 + m^2)[\alpha^2 \tilde{Q}^2 + m^2]}$$

Analogicky získáme pro dvoubodovou vlnovou funkci:

$$(IV. 18) \quad \Gamma^{(2)}(k) = m^2 + \alpha^2 k^2 - \frac{\lambda^2}{6} \int_0^1 \frac{d\tilde{q}_1 d\tilde{q}_2}{(2\tilde{u})^{2d}} \frac{(-\alpha^2 \tilde{k}^2 + 2\alpha^2 \tilde{k} \cdot \tilde{Q})}{(\alpha^2 \tilde{q}_1^2 + m^2)(\alpha^2 \tilde{q}_2^2 + m^2)(\alpha^2 \tilde{Q}^2 + m^2)(\alpha^2 (\tilde{k} - \tilde{Q})^2 + m^2)}$$

Výhodou nové reprezentace (IV. 18) pro dvoubodovou vlnovou funkci je, že pro $d < 4$ integrál konverguje ani v

limite $\Lambda \rightarrow \infty$. V renormalizované PT pro $\Gamma^{(2)}(k)$ lze tedy

pokud $\Lambda = \infty$. Explicitně výpočet jsme sice provedli pouze

do řádu $O(\lambda^2)$, ale totéž platí i o vyšších řádech rozvoje do

poté uzavřených smyček.

B) Renormalizace kinetického členu

Renormalizace hustoty, tj. systematické nahrazení $m^2 \rightarrow \mu^2$

ve všech výrazech PT přiléhá závislost fyzikálních veličin

v kritické oblasti na parametru Λ pro $d < 4$. V

dimenzi $d=4$ integrál v (IV. 18) stále ještě obsahuje logaritmickou

ultrafialovou singularitu. Té se zbavíme renormalizací ki-

netického členu, tj. nahrazením $\alpha^2 \rightarrow \alpha^2$. Renormali-

zostav kineticý člen je definovaný:

$$(IV.19) \quad a^2 = \frac{d\Gamma^{(2)}}{dk^2} \Big|_{k=K}$$

kde \vec{K} je libovolný zvolený vektor se kterým budeme

provádět renormalizaci kinetického členu. V tomto kroku

nelze zvolit $\vec{K} = \vec{0}$, neboť dvojnásobná moclová funkce

ma chování $\Gamma^{(2)}(k) \propto k^{2-d}$ $d > 0$ pro $d < 4$ a

tedy derivace v (IV.19) diverguje v $d \leq 4$.

Obdobně jako při renormalizaci smyčkových náhradních systémů

hij nás bude záležet parametr α renormalizovaný a .

Do druhého řádu v interakčním konstantě α s použitím

renormalizace smyčkové dráhy:

$$(IV.20) \quad a^2 = \alpha^2 + \frac{\lambda^2}{6} \int_0^1 \frac{d^2 q_1 d^2 q_2}{(2\pi)^{2d}} \frac{2k^2 - 2\vec{k} \cdot \vec{Q}}{(q_1^2 + m^2)(q_2^2 + m^2) K^2 [\alpha^2(\vec{k} - \vec{Q})^2 + m^2]^2}$$

Dvojnásobná moclová funkce pak v renormalizované

podobě má tvar

$$(IV.21) \quad \Gamma^{(2)}(k) = m^2 + k^2 \left(a^2 - \frac{\lambda^2}{6} B(k, k) \right)$$

$$B(k, k) = \frac{1}{\lambda^2} \Delta A(k) - \frac{dA}{d\lambda^2} \Big|_{k^2, \alpha^2 = a^2}$$

$$B(k, k) = \int \frac{d^d \vec{q}_1 d^d \vec{q}_2}{(2\pi)^{2d}} \frac{1}{(a^2 q_1^2 + m^2)(a^2 q_2^2 + m^2)} \left[\frac{-a^2 \vec{k}^2 + 2a^2 \vec{k} \cdot \vec{Q}}{[a^2(\vec{k} - \vec{Q})^2 + m^2][a^2 Q^2 + m^2]} \frac{1}{\vec{k}^2} - \frac{a^2 k^2 - a^2 \vec{k} \cdot \vec{Q}}{[a^2(\vec{k} - \vec{Q})^2 + m^2]^2 k^2} \right]$$

Integrál $B(k, k)$ již nemá ultrafialovou divergenci pro $d < 6$ a lze tedy položit $\Lambda = \infty$ ve vyjádření pro $\Gamma^{(2)}(k)$.

C) Renormalizace masy (interakční konstanty)

Poslední vlnu v perturbativní rozvoji, která musíme renormalizovat je interakční konstanta 1. Fyzikální interakční konstanta je přitom definována z čtyřbodové maderové funkce

$$(IV.22) \quad g = \Gamma^{(4)}(0,0,0)$$

Rozvoj maderové funkce do řádu $O(\Lambda^2)$ byl vyjádřen v (IV.12). Tento integrál diverguje logaritmičtě v $d=4$ ^($k \rightarrow \infty$) stupni

jezu integrálu $\Delta A(k)$. Proto nahradíme rozvoj v 1. řádu renormalizovanou interakční konstantou g . Vždyť per $\Gamma^{(4)}$

napišeme ve tvaru:

$$\Gamma^{(4)}(\vec{k}_1, \vec{k}_2, \vec{k}_3) = \Gamma^{(4)}(\vec{k}_1, \vec{k}_1, \vec{k}_3) - \delta^{(4)}(0, 0, 0) + g$$

přičemž pravou stranu rozvineme do mocnin interakční konstanty. V řádku $O(12)$ z (IV.12) dostaneme:

$$(IV.23) \quad \Gamma^{(4)}(\vec{k}_1, \vec{k}_2, \vec{k}_3) = g - \frac{1}{2} \int_0^1 \frac{d^d q}{(2\pi)^d} \frac{1}{(a^2 q^2 + m^2)^2} \left[\frac{2a^2 \vec{q} \cdot \vec{K} - a^2 K^2}{a^2 (\vec{K} - \vec{q})^2 + m^2} + 2 \text{permut.} \right]$$

kde $\vec{K} = \vec{k}_1 + \vec{k}_2$. Nyní položíme $\vec{k}_1 = \vec{k}_2 = \vec{k}_3 = 0$ a rozvoj

invertujeme tož, abychom vyjádřili 1 pomocí g :

$$(IV.24) \quad 1 = g \left(1 + \frac{3g}{2} \int_0^1 \frac{d^d q}{(2\pi)^d} \frac{1}{(a^2 q^2 + m^2)^2} \right) + O(g^3)$$

Což dáme pro čtyřhrannou vlnovou funkci:

$$(IV.25) \quad \Gamma^{(4)}(\vec{k}_1, \vec{k}_2, \vec{k}_3) = g - \frac{g^2}{2} \int_0^1 \frac{d^d q}{(2\pi)^d} \frac{1}{(a^2 q^2 + m^2)^2} \left[\frac{2a^2 \vec{q} \cdot \vec{K} - a^2 K^2}{a^2 (\vec{K} - \vec{q})^2 + m^2} + 2 \text{permut.} \right]$$

Integrál se vyjádříme pro $\Gamma^{(4)}$ nekonverguje s $1 \rightarrow \infty$ pro $d < 6$.

Proto tedy položíme $1 = \infty$ v tomto renormalizovaném rozvoji.

Odkodujme způsobem měření položíme systematicky v

renormalizační celek předvede rozvoj člen po členu.

§11.3 Výpočet kritického exponentu ($T \geq T_c$)

Renormalizační povrchové rozory jsme odstranili vzhledem k ultrafialové divergenci z jednotlivých příspěvků do fyzikálních veličin. Kritické chování je však charakterizováno infračervenými singularitami, které nelze z teorie úplně odstranit, neboť povrchový přechod je reálně existující jev. Jeho správný popis je našim skutečným cílem. Proto bychom k jeho zohlednění při výpočtu teorii středního pole, jak jsme ji ale udělali, teorie středního pole nezachycuje všechny divergence, které s sebou kritický bod přináší. Proto některé povrchové rozory kolem přechodu středního pole singularit. V teorii klasického kritického jevu je významné, že všechny divergence jsou skalární s jedním divergentním členem odvozenou z korelační funkce: korelační člen, nebo jedinou vyjádřením člen; efektivní korelační

Skalární singulární část odpovídá nosnému η -tému jednotkové délky. Za jednotku délky v kritické oblasti zvolíme korelační délku a tudíž hustotu v korelační funkci přičteno rovněž předpokládáme: $a^2 g^2 = m^2 x^2$, kde x je bezrozměrná hustota měřená v délkách jednotkové korelační délky. Tím korelační funkce po přechodu bude:

$$\frac{1}{a^2 g^2 + m^2} \rightarrow \frac{1}{m^2} \frac{1}{x^2 + 1}$$

Výsledná tato skalární je transformace divergentních integrálů s korelačními funkcemi se výraz s regulárními integrály a divergentním skalárním faktorem. Např. integrál ve tvaru (IV.12) pro čtyřrozměrné maticové funkce má po přechodu tvar:

$$\int_0^1 \frac{d^2 q}{(2\pi)^2} \frac{1}{a^2 q^2 + m^2} \frac{1}{a^2 (k-q)^2 + m^2} \rightarrow m^{d-4} \int_0^1 \frac{d^2 x}{(2\pi)^d} \frac{1}{(x^2+1)((k-y)^2+1)}$$

Jelikož díky renormalizaci integrál v renormalizovaném

Das ist die Formel $L = I - V + 1$

porušením rozroji nerovnice na 1, jedinou zvlášť na smole,

kteřá symetrická v kritickém bodě, je faktor $m^{d-4} \rightarrow \infty$.

K tomu, abychom všechny divergentní integrály od řádku 1 s

metodou mocniny m , musíme najít závislost libovolného

diagramu na m . Celkový faktor v diagramu s L uzavře-

nyými smyčkami a I interními liniemi je m^P , kde

$$P = dL - 2I$$

neboť za každou integraci získáme obecný faktor m^d .

V diagramu s n vnějšími liniemi a V vrcholů navíc

platí jednoduchý vztah

$$2I + n = 4V$$

kteřého využijeme k nalezení mocniny P :

$$(IV.26) \quad P = (d-4)V + d + n - \frac{1}{2}dn = -\epsilon V + \delta n$$

kde δn je faktor závislý pouze na počtu vnějších linií

a geometrickém rozměru prostoru. Jelikož každý vrchol

obsahuje interakční konstantu, je vhodné rovnost

bezrozmernou interakčnou konštantu se (kterou) budeme

rozvíjet jednotlivé fyzikální veličiny:

$$(IV.27) \quad \hat{\lambda} = \frac{\lambda m^{-\epsilon}}{(2\pi a)^d}$$

kde jsme ještě včlenili objemový faktor z unitárních integrálů.

Analogicky místo renormalizované interakční konstanty

g přejdeme na bezrozmernou

$$(IV.28) \quad \hat{g} = \frac{g m^{-\epsilon}}{(2\pi a)^d},$$

Výše uvedenou renormalizaci a řádování se nám podařilo

přeformulovat pomocí vzorů do bezrozměrných veličin, kde

sčelový integrál již není regulární. Z poruchového rozvoje

musíme určit hodnoty řádovacích veličin v kritickém bodě.

Z jejich hodnot potom máme kritické exponenty fyzikál-

ních veličin.

A) Výpočet kritického exponentu β

Z definice víme, že $\chi \propto T^{-\beta}$ Dále pak suscepti-

hilita je miera z korelačnou funkciou:

$$\chi = \tilde{G}^{(2)}(0) \propto m^{-2}$$

Kontrolný parameter $\theta = (T - T_c)/T_c$ máme z kolektorů:

$$\Delta\mu^2 = \mu^2 - \mu_c^2 = \frac{T - T_c}{T_c} = \theta$$

Proto kritický exponent γ máme z rovnice

$$(IV.29) \quad \frac{1}{\gamma} = \lim_{m \rightarrow 0} \frac{\partial \log \Delta\mu^2}{\partial \log m^2}$$

Tj. k miera kritického exponentu γ použijeme

renormalizovaný rovin $\mu^2(a^2, m^2, \bar{g})$. Do prvního

řádce o interakční konstantě (jednosměrné přibližně)

dostaneme:

$$(IV.30) \quad \Delta\mu^2 = m^2 \left\{ 1 + \frac{\lambda}{2} \int_0^1 dx \frac{1}{x^2(x^2+1)} + O(\lambda^2) \right\}$$

Tento vztah použijeme v (IV.29), přičemž musíme mít

na paměti, že bezrozměrná interakční konstanta λ

závisí na μ a a , rozlišme dva případy:

A) $d > 4$: Integral ve vztahu (IV.30) diverguje

$$I = A + B \left(\frac{a\Lambda}{m} \right)^{d-4} = A + B \left(\frac{a\Lambda}{m} \right)^{-\epsilon}$$

Dále platí :

$$(IV.31) \quad m^2 \frac{\partial \hat{\lambda}^n}{\partial m^2} = -\frac{1}{2} n \epsilon \hat{\lambda}^n$$

Odkud snadno zjistíme

$$\frac{1}{g} = 1 - \frac{1}{4} \epsilon A \lim_{m \rightarrow 0} \hat{\lambda} = 1$$

což je předpokládání výsledku, tj. klesí střední ϕ pole.

B) $d < 4$: Integrál v (IV.30) nemůžeme přerátovat

řetěm 1 a tudíž

$$(IV.32) \quad \frac{1}{g} = 1 - \frac{1}{4} \epsilon \lim_{m \rightarrow 0} \hat{\lambda} \int_0^\infty d^d x \frac{1}{x^2(1+x^2)}$$

Nyní bychom bezrozměrnou interakční konstantu nahradili

renormalizovanou verzí;

$$\hat{\lambda} = \hat{g} + \frac{3}{2} \hat{g}^2 \int_0^\infty d^d x \frac{1}{(x^2+1)^2}$$

přičemž předpokládáme, že $\hat{g}_c < 1$. Potom

$$(IV.33) \quad \frac{1}{g} = 1 - \frac{1}{4} \epsilon \hat{g}_c \int_0^\infty \frac{d^d x}{x^2(x^2+1)}$$

kde g_c je je hodnota bezrozměrné renormalizované interakční konstanty v kritické bodě. Ze vztahu (IV.26) plyne, že $g \propto m^{\delta_4} f(g')$. Pokud $g_c < 1$, potom renormalizovaná interakce g , nebo $\Gamma^{(4)}(0,0,0) \rightarrow 0$.

Výsledkem hodnota bezrozměrné interakční konstanty

g_c máme pomocí tzv. β -funkce. Definujeme

$$(IV.34) \quad \beta(g) \equiv \left(\frac{\partial g}{\partial \log m^2} \right)_{1,1}$$

Tzn. $\beta(g_c) = 0$, pokud $g \rightarrow g_c < 1$, nebo $m^2 \rightarrow 0$.

Při výpočtu β -funkce musíme vzít v úvahu stavující

renormalizovanou a merenou (normalizovanou) interakční

konstantu \hat{g} a λ . Použijeme tedy (IV.24) a přidáme

k bezrozměrným interakčním konstantám:

$$(IV.35) \quad \hat{\lambda} = \hat{g} \left(1 + \frac{3}{2} \hat{g} \int_0^{\infty} dx \frac{1}{(x^2+1)^2} \right) + O(g^3)$$

Jelikož $\alpha < 4$ integrál v (IV.35) konverguje na uzavř-

atou hodnotu 1, lze položit $\Lambda = \infty$. Při derivování

proble renormalizované hodnoty této interakční konstanty

je fixována a tedy

$$\frac{\partial \hat{\lambda}}{\partial \log \mu^2} = -\frac{\epsilon}{2} \hat{\lambda} = -\frac{\epsilon}{2} \left[\hat{\lambda} + \frac{3}{2} \hat{g}^2 \int_0^\infty \frac{dx}{(x^2+1)^2} \right].$$

derivováním pravé strany dostaneme:

$$= \beta(\hat{g}) \left[1 + 3\hat{g} \int_0^\infty \frac{dx}{(x^2+1)^2} \right]$$

Porozumáním obou výrazů a předáním nejmenších

možností \hat{g} dostaneme:

$$(IV.36) \quad \beta(\hat{g}) = -\frac{\epsilon}{2} \hat{g} \left[1 - \frac{3}{2} \hat{g} \int_0^\infty \frac{dx}{(x^2+1)^2} \right]$$

2. k tomu navíc získáme hodnotu kritické hodnoty bezrozměrné renormalizované interakční konstanty:

$$(IV.37) \quad \hat{g}_c = \frac{2}{3} \left[\int_0^\infty \frac{dx}{(x^2+1)^2} \right]^{-1} = \frac{2}{3\pi^2} \approx 0.0675$$

Ještě pozijeme tentž výsledek v (IV.33) dostaneme hodnotu kritického exponentu ν :

$$\frac{1}{\nu} = 1 - \frac{\epsilon}{6} \frac{\int_0^\infty \frac{dx}{x^2(x^2+1)}}{\int_0^\infty \frac{dx}{(x^2+1)^2}} = 1 - \frac{1}{6} \frac{2\pi^2}{\pi^2} = \frac{2}{3}.$$

2. výše uvedených výsledků vyplývá, že $g_c \ll 1$, a tudíž rozvoj o bezrozměrné renormalizované interakci konstante je oprávněný, alespoň pro malé hodnoty ϵ .

B) Výpočet kritického exponentu η

Kritický exponent η je definován o kritické teplotě $T = T_c$ a charakterizuje dlouhodobé chování korrelační (vlnkové) funkce, platí:

$$(IV.38) \quad G_c^{(2)}(k) \sim k^{-2+\eta} \quad \text{nebo} \quad \Gamma^{(2)}(k) \sim k^{2-\eta}$$

Neanalytický příspěvek malých hybností do vlnkové funkce

$\Gamma^{(2)}$ je dán:

$$\Gamma_{\text{mon}}^{(2)}(k) = - \frac{\lambda^2}{6} \int_0^1 \frac{d\tilde{x}_1 d\tilde{x}_2}{(2\pi)^{2d}} \frac{1}{a^2 \tilde{x}_1^2} \frac{1}{a^2 \tilde{x}_2^2} \left[\frac{1}{a^2 (\tilde{Q} - \tilde{\epsilon})^2} - \frac{1}{a^2 Q^2} \right]$$

kde $\tilde{Q} = \tilde{x}_1 - \tilde{x}_2$. Značíme ještě $\tilde{x}_1 = \tilde{x}_1/k$, $\tilde{x}_2 = \tilde{x}_2/k$,

$X = \tilde{Q}/k$. Potom

$$\log \Gamma^{(2)}(\epsilon) = 2 \log(a\epsilon) - \frac{\lambda^2}{6a^2 k^2} \Delta A(\epsilon)$$

$$= 2 \log(a\epsilon) - \frac{1}{6} \lambda^2 \int_0^{1/k} \frac{d\tilde{x}_1 d\tilde{x}_2}{x_1^2 x_2^2} \left[\frac{1}{(\tilde{x} - \tilde{\epsilon})^2} - \frac{1}{x^2} \right]$$

keď išme opäť prišli na bezrozmernú interakčnú konštantu

(IV.39)

$$\tilde{\lambda} = \frac{\lambda (a\epsilon)^{-\epsilon}}{(2\pi a)^d}$$

Analogicky jako v prípade kritického exponentu γ čo sme už

vedeli, že pre $d > 4$, $\gamma = 0$, tj. Landauova teória je úplná.

Zaujímavá je situácia pre $d < 4$, tj. $\epsilon > 0$. Koniec pre

kritický exponent γ je

(IV.40)

$$2 - \gamma = \lim_{k \rightarrow 0} \frac{\partial \log T(k)}{\partial \log k}$$

Opäť so zodpovedajúcou hlavičkou prispievá do derivácie v (IV.40)

prekvapivo od interakčnej konštanty $\tilde{\lambda}$. 2 reprezentácie pre $T(k)$

o z (IV.39) dostaneme:

(IV.41)

$$T = \frac{\epsilon}{3} \lim_{k \rightarrow 0} \tilde{\lambda}^2 \int_0^\infty \frac{d^d x_1 d^d x_2}{x_1^2 x_2^2} \left[\frac{1}{x^2} - \frac{1}{(x-\epsilon)^2} \right]$$

Nasledujúci predpokladom bolo, že integrál na pravej strane (IV.41)

v limite malých k by mal byť nezávislý na veľkosti reťazce k .

Vzhľadom k tomu, že $\tilde{\lambda} \rightarrow \infty$ pre $k \rightarrow 0$, musíme prejsť

opäť nahradením $\tilde{\lambda}$ renormalizovanou konštantou \tilde{g} .

Je-liž $m=0$ v $T=T_c$, musíme renormalizovanou interakční konstantu vyjádřit z čtyřbodové korelační funkce v vnitřním bodě \vec{k} , T_j .

$$g = \Gamma^{(4)}(\vec{k}_1, \vec{k}_2, \vec{k}_3)$$

Přitom volíme hybnosti \vec{k}_i tak, aby směřovaly dovnitř interakce. Regularizačním bod $(\vec{k}_1, \vec{k}_2, \vec{k}_3)$ lze vyjádřit s jistou libovolností, obvyklým volbou je tzv. symetrický bod,

$$\vec{k}_i \cdot \vec{k}_j = (\delta_{ij} - \frac{1}{3}) \frac{k^2}{3}$$

což vede na $(\vec{k}_1 + \vec{k}_2)^2 = k^2$.

K dalšímu postupu je vhodné zvolit $k = \frac{1}{\ell}$, tak abychom dostali co nejjednodušší limitu $\ell \rightarrow 0$. V tomto případě

$$g = 1 - \frac{3\ell^2}{2} \int_0^1 \frac{d^d q}{(2\pi)^d} \frac{1}{q^2 q^2} \frac{1}{q^2 (\vec{k}_1 + \vec{k}_2 - \vec{q})^2}$$

Invertováním tohoto vztahu a přechodem na bezrozměrné veličiny dostaneme:

(IV.42)
$$\hat{\lambda} = \hat{g} + \frac{3}{2} \hat{g}^2 \int_0^{1/\kappa} \frac{d^d x}{x^2 (\hat{k}_1 + \hat{k}_2 - \vec{x})^2}$$

ode izme označi

$$\vec{g} = \frac{g(a\kappa)^{-\epsilon}}{(4\pi a)^d}$$

$$x = \vec{g}/\kappa, \quad \hat{\kappa}_1 = \vec{\kappa}_1/\kappa, \quad \hat{\kappa}_2 = \vec{\kappa}_2/\kappa. \quad \forall \text{ symetrickým}$$

bodí $(\vec{\kappa}_i, \vec{\kappa}_j = (\delta_{ij} - 1) \kappa^2/4)$ restas $\hat{\kappa}_1, \hat{\kappa}_2$ najem jednot-
kou, ale majú dĺžku $\sqrt{3}/4$.

Kritický exponent η myslíme zapísať z (IV.41):

$$(IV.43) \quad \eta = \frac{\epsilon}{3} g_c^2 \int_0^\infty \frac{d^d x_1 d^d x_2}{x_1^2 x_2^2} \left\{ \frac{1}{x^2} - \frac{1}{(\vec{x} - \vec{z})^2} \right\}$$

Ve výraze (IV.43) je možné prejsť limitu $\epsilon \rightarrow 0$, alebo

renormalizovaná redukovaná interakčná konštanta je konštantou 0

limite nulovej hustoty, alebo lípe o limitu $\kappa \rightarrow 0$.

Stejně jako v případě exponentu ρ máme i nyní

redukovaná renormalizovaná interakčná konštanta g_c z nulové

redukovaná B-funkce:

$$(IV.44) \quad B(\vec{g}) = \frac{\partial \vec{g}}{\partial \log \kappa} \Big|_{\vec{g}, 1}$$

Derivován rovnice (IV.42) dostaneme:

$$(IV.45) \quad \beta(\hat{g}) = -\epsilon \hat{g} + \frac{3}{2} \epsilon \hat{g}^2 \int_0^\infty \frac{d^d x}{x^2 (\hat{k}_1 + \hat{k}_2 - \vec{x})^2}$$

odtud potom

$$(IV.46) \quad \hat{g}_c = \frac{2}{3} \left[\int_0^\infty \frac{d^d x}{x^2 (\hat{k}_1 + \hat{k}_2 - \vec{x})^2} \right]^{-1}$$

Dosazením výrazu (IV.46) do výrazu pro exponent γ

dostaneme rovnici přispívající do anomálního dimenze

pro $d < 4$. Integrale (IV.46) a (IV.41) lze přemést expli-

citně např. ve třech prostorových rozměrech. Tam ale zjistíme,

že integrál v (IV.43) diverguje! Tj. máť rozvoj, přeložte

rozvojíme v malé konstantě $\hat{g}_c = \frac{2}{3\pi^3} \approx 0.0215$, výsledek

na pravé straně (IV.43) není fyzikální, neboť koeficienty

rozvoje jsou singulární. Musíme proto máť rozvoj ještě

dále modifikovat

§IV.4 Dimensional regularization a ϵ -rozvoj

Deriváciu rovnice (IV.42) dostaneme:

$$(IV.45) \quad \beta(\hat{g}) = -\epsilon \hat{g} + \frac{3}{2} \epsilon \hat{g}^2 \int_0^\infty \frac{d^d x}{x^2 (\hat{k}_1 + \hat{k}_2 - \vec{x})^2}$$

odkiaľ potom

$$(IV.46) \quad \hat{g}_c = \frac{2}{3} \left[\int_0^\infty \frac{d^d x}{x^2 (\hat{k}_1 + \hat{k}_2 - \vec{x})^2} \right]^{-1}$$

Dosadením výrazu (IV.46) do výrazu pre reprezentu γ

dostaneme rovnosť prispôbenú do anomálnu dimenzie

pre $d < 4$. Integrály (IV.46) a (IV.41) lze prvést expli-

citně např. ve třech prostorových rozměrech. Tam ale zjistíme,

že integrál v (IV.43) diverguje! Tj. máť rozvoj, přičemž

rozvojíme v malé konstantě $\hat{g}_c = \frac{2}{3\pi^3} \approx 0.0215$, výsledek

na pravé straně (IV.45) není fyzikální, neboť koeficienty

rozvoje jsou singulární. Musíme proto máť rozvoj ještě

dále modifikovat

§IV.4 Dimensional regularization a ϵ -rozvoj

chýba, ktorú sme udelali pri správnej anomálnej dimenzii
 γ , bylo predĺžením platnosti renormalizovateľného poruchového
 rozvoje až do kritického bodu v libovolnej dimenzii $d < 4$. Obecné
 meranie rozšírenia renormalizovateľných interakcií konstanty ν dáva
 ponre pro $T > T_c$. Je to tiež položené $T = T_c$, potom zhratíme
 hustotu regularizaci. Tuto regularizaci treba nahradit asi
 regularizaci hustoty K množiny renormalizaci kinetického
 termu. Toto je vhodné pro regularizaci ultrafialových, ale ne
 infračervených divergencií. Hustotu regularizaci musíme v T_c
 nahradit jiným mechanismem aťak μ tzv. ϵ -rozvoj.
 Kine totiž, že v $d=4$ všechny integrály v T_c jsou konečné a kin-
 etické exponenty jsou různé termi stejného pole. Tohoto
 faktu využijeme k tomu, abychom všechny potřebné integrály
 v dimenzích $d < 4$ rozšířili kolem bodu $d=4$ s malým
 rozvojem parametrem $\epsilon = 4-d$. Takže v $T = T_c$ spočítáme
 rozvoj do uračitého řádu (v \hat{g}) s rozvojem do ϵ ve

vyžití koeficientů rozvoje.

A) Dimensional regularization

K tomu, abychom mohli přivést rozvoj divergentních integrálů

kolem kritické dimenze $d = 4$, musíme nejprve zobecnit hodnoty

integrálů do reálné dimenze. To je možné, pokud pra-

ce máme s malými maximální hodnoty v blízkosti pole

integrandu (kritického bodu). Obecně máme vyjádřit následu-

je součin:

$$I_0(d) = \int d^d k [f_1(k) - f_2(k)]$$

kde rozdíl je zbytek Γ , aby příspěvky od f_1 a f_2 kompenzovaly

rozdílné příspěvky od velkých hodnot. Idea dimensional

regularizace je považovat jednovlný integrál v d-rozměrném užší

prostoru rozměru d , kde je jednovlný integrál i

definovaný. Potom získáme výsledky analyticky pro libovolné

re (spojité) veličiny d do požadovaného řádového rozvoje.

Tím získáme požadovaný rozvoj potřebných integrálů.

B) Feynmanova parametrizace integrálu

K tomu abychom mohli vřadit prťní integrál jako funkci prostoroobu rozměru, poněkud tzv. Feynmanov parametrizace integrálu s prvky propagatorů. Tato parametrizace využívá následujících identit:

$$(IV.47) \quad \frac{1}{a_1^{\alpha_1} a_2^{\alpha_2}} = \frac{1}{(\alpha_1-1)! (\alpha_2-1)!} \int_0^\infty dt_1 dt_2 e^{-(a_1 t_1 + a_2 t_2)} t_1^{\alpha_1-1} t_2^{\alpha_2-1}$$

což je vlastně integrální vyjádření pro Γ -funkci. V této reprezentaci poněkud substituci

$$t_1 = s u_1, \quad t_2 = s u_2$$

přičemž ještě poněkud podmínku

$$u_1 + u_2 = 1$$

Pomocí této substituce přepíšeme integrál (IV.47):

$$(IV.48) \quad \begin{aligned} \frac{1}{a_1^{\alpha_1} a_2^{\alpha_2}} &= \frac{1}{(\alpha_1-1)! (\alpha_2-1)!} \int_0^1 du_1 du_2 u_1^{\alpha_1-1} u_2^{\alpha_2-1} \delta(u_1 + u_2 - 1) \\ &\quad \times \int_0^\infty ds e^{-(a_1 u_1 + a_2 u_2) s} s^{\alpha_1 + \alpha_2 - 1} \\ &= \frac{(\alpha_1 + \alpha_2 - 1)!}{(\alpha_1 - 1)! (\alpha_2 - 1)!} \int_0^1 du_1 du_2 \delta(u_1 + u_2 - 1) \frac{u_1^{\alpha_1-1} u_2^{\alpha_2-1}}{(a_1 u_1 + a_2 u_2)^{\alpha_1 + \alpha_2}} \end{aligned}$$

K výpočtu fyzikálních veličin budeme ještě potřebovat

následující identity:

$$(IV.49a) \quad \int_0^1 du u^\mu (1-u)^\nu = \frac{\mu! \nu!}{(\mu+\nu+1)!}$$

$$(IV.49b) \quad \int_0^\infty \frac{d^d x}{(x^2 + 2\vec{x} \cdot \vec{p} + c^2)^\alpha} = \pi^{d/2} \frac{(\alpha - \frac{1}{2}d - 1)!}{(\alpha - 1)!} (c^2 - p^2)^{d/2 - \alpha}$$

Nyní máme připraveny všechny ingredience pro výpočet

kritického exponentu γ . Integrujme (IV.43) označme:

$$\tilde{I}_2(0) - \tilde{I}_2(1) = \int_0^\infty \frac{d^d x_1 d^d x_2}{x_1^2 x_2^2} \left\{ \frac{1}{x^2} - \frac{1}{(\vec{x} - \hat{e})^2} \right\}$$

dále ještě

$$\tilde{I}_2(k) = \int_0^\infty \frac{d^d x_1 d^d x_2}{x_1^2 x_2^2 (\vec{x} - \vec{k})^2}$$

ktež nyní vyřešíme s pomocí Feynmanovy parametrizace.

Nejdříve integrujme přes x_2 v integrálu $\tilde{I}_2(s)$, označme

$$J(k) = \int_0^\infty \frac{d^d x}{x^2 (\vec{x} - \vec{k})^2}$$

a pomocí Feynmanovy parametrizaci

$$a_1 = x^2, \quad a_2 = (\vec{x} - \vec{k})^2, \quad \alpha_1 = \alpha_2 = 1$$

$$\begin{aligned}
 J(b) &= \int_0^1 du_1 du_2 \delta(u_1 + u_2 - 1) \int_0^\infty \frac{d^d x}{(x^2 u_1 + (\vec{x} - \vec{b})^2 u_2)^2} \\
 &= \int_0^1 du_2 \int_0^\infty \frac{d^d x}{(x^2 - 2\vec{x} \cdot \vec{b} u_2 + b^2 u_2)^2}
 \end{aligned}$$

Dále použijeme (IV.49) a dostaneme;

$$\begin{aligned}
 J(b) &= \frac{1}{\pi} d/2 b^{-\epsilon} \left(\frac{1}{2}\epsilon - 1\right)! \int_0^1 du_2 [u_2(1-u_2)]^{-\epsilon/2} \\
 &= \frac{1}{\pi} d/2 b^{-\epsilon} \frac{\left(\frac{1}{2}\epsilon - 1\right)! \left[-\frac{1}{2}\epsilon\right]!^2}{(1-\epsilon)!}
 \end{aligned}$$

Přesuneme do $I_2(b)$ a substitueme $\vec{x} \rightarrow \vec{x}_2$, $\vec{b} \rightarrow \vec{b} - \vec{x}_1$

dostaneme

$$\begin{aligned}
 \text{(IV.50)} \quad I_2(b) &= \frac{1}{\pi} d/2 \frac{\left(\frac{1}{2}\epsilon - 1\right)! \left[-\frac{1}{2}\epsilon\right]!^2}{(1-\epsilon)!} \int_0^\infty \frac{d^d x_1}{x_1^2 [(\vec{x}_1 - \vec{b})^2]^{\epsilon/2}} \\
 &= \left(\frac{1}{b^2}\right)^{1-\epsilon} \frac{1}{\pi} d \frac{\left[-\frac{1}{2}\epsilon\right]!^3 (\epsilon-2)!}{\left(2 - \frac{3}{2}\epsilon\right)!}
 \end{aligned}$$

V těchto výzarech neobdržíme faktorů pro drapky jádra

Γ funkce. Vztah (IV.50) můžeme kromě použití pro

nově kritické exponenty γ :

$$\gamma = \frac{1}{3} \epsilon \hat{g}_c^2 [I_2(0) - I_2(A)]$$

Pro úplné vyjádření musíme ještě vyjádřit ϵ a hodnotu

⊗ Proč není tento potenciál prázdný problém v průměrné výpočetní integrálu v $d=3$, neboť tehdy tato funkce diverguje!

renormalizovano interakcijsko konstanto pomoč ϵ -rozvoje,

z razloženjem

$$g_c = \frac{2}{3} \left[\int_0^\infty \frac{d^d x}{x^2 (\vec{k}_1 + \vec{k}_2 - \vec{x})^2} \right]^{-1}$$

stopnjeno postopoma dobljamo:

$$(IV.51) \quad g_c = \frac{2(1-\epsilon)!}{3\pi^{d/2} \left[(-\frac{1}{2}\epsilon)! \right]^2 \left(\frac{1}{2}\epsilon - 1 \right)!} = \frac{1}{54} \epsilon + O(\epsilon^2)$$

Razvojem η -raza (IV.50) do rednega računa v ϵ dobljamo

$$(k^2)^{1-\epsilon} = k^2 e^{-\epsilon \log k^2} = k^2 (1 - \epsilon \log k^2 + O(\epsilon^2))$$

$$(\epsilon-2)! \approx \frac{1}{\epsilon} + O(1) \quad (*)$$

Tudi izraz $I_2(0)$ je se redovan račun & ne predstavlja problema

ničnega g , nebst

$$(IV.52) \quad I_2(\epsilon) = -\frac{1}{2} \frac{1}{4} k^2 \frac{1}{\epsilon} + O(1)$$

Spojenim (IV.51) a (IV.52) malom dobljamo:

$$(IV.53) \quad \eta = \frac{\epsilon^2}{54} + O(\epsilon^3)$$

ko pri nizrozmerju sistema dajemo

$$\eta(3) = \frac{1}{54} \approx 0.0185$$

§ IV.5 Skratka klasického kritického sporu

Na záver tejto kapitoly zhrabujeme postup konštitučného popisu divergentných prúdení do termodynamických relácií v kriticko-klasickom tvorení prúdení:

- 1) V prvom kroku je potrebné zistiť mikroskopické relácie, čiže je potrebné fluktuácie /sm dominantné v kriticko-klasickom tvorení.
Tj. je tiež napät charakter a symetrické parametre usporiadané.
Toto zjednotenie z divergencií zodpovedajúcich korelačných funkcií

- 2) Skratka teorie štandardného pole popisujúceho konštitučné a tiež nové usporiadané tvore, tj. generi nemajúce hodnot parametru usporiadané, rovnako nové narušenie symetrie.
Podstatné je aby teorie štandardného pole obsahovala kritický bod spĺňajúci tvorení prúdení a definovaná korelaciu delku divergencie v kritickom bode (efektívna hmotnosť m_{eff} v móde znižujúcej v bode prúdení).

3) Existuje systematický rozvoj kolem teorie středního pole.

Snadno je rozvíjet pouze regulární řešení s dobrým analytickým chováním.

4) V prostorových dimenzích $d < d_4 (=4)$ rosem DFT nepostihuje všechny divergence v teorii a poruchový rozvoj kolem řešení středního pole je singularní. Ke správnému započtení těchto dostatečných singularit je třeba

A) Transformovat poruchový rozvoj na renormalizovaný, tj.

kalor, který pracuje vzhledem k fyzikálnímu, měřitelnému

parametrům modelu: hmotnosti, kinetický člen a interakční konstanta. Teorie je renormalizovatelná, pokud použijeme

výrazy renormalizované konstanty, tj. je možné provést

spojení limitu přirozeného měřitého modelu.

B) Pomocí změny jednotky délky v teorii - od aperiodického

oddělení přidejte ke korelačním délkám. Měříme v

renormalizovatelné teorii faktorizovat všechny divergentní

vyraz do mocnin korelační délky, přičemž všechny
dynamické integrály jsou konečné. Tzv. jednoparametrické
skalování,

- 5) Speciální postup je nutný v kritickém bodě, kde korelační
délka je nekonečná, tj. neexistuje délková škála, pomocí
kterou bychom mohli divergenci v teorii faktorizovat. Tedy
je nutné použít dimensionální regularizaci k provedení
renormalizace v teorii a ϵ -rozvoj vyjadřující všechny divergen-
tní relace v mocninách $\epsilon = 4-d$, tj. kolem kritického bodu
teorie středního pole.

- 6) Bezrozměrná renormalizovaná interakční konstanta
 $\tilde{g} \propto g \mu^\epsilon$ roste v kritickém bodě $T=T_c$ konečně
takže, $\hat{g}_c \ll 1$ pro $\epsilon \leq 1$. Odtud vyplývá, že renor-
malizovaná interakční konstanta, $g_\epsilon = \hat{g}_c \cdot \mu^\epsilon \rightarrow 0$, efektive
zaniká v kritickém bodě. Těmto výsledkům naopak odpovídá
použití renormalizované PT i v kritické oblasti.